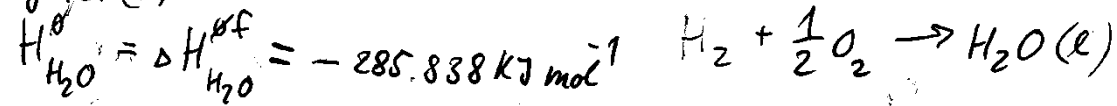


Termodynamika a fázové vlastnosti jednosložkových soustavy



Výpočet Td funkcí vody

Výp. stand. hodnot $H^\circ, S^\circ, G^\circ$ (1 mol $\overset{H_2O}{\text{v sestavě}}$)
(ligající (l):



$$\begin{aligned} S_{H_2O}^\circ &= S_f^\circ + \left(S_{H_2}^\circ + \frac{1}{2} S_{O_2}^\circ \right) = \\ &= -163,292 \text{ J mol}^{-1} \text{ K}^{-1} \end{aligned}$$

$$\begin{aligned} \text{TAB: } S_f^\circ &= -163,292 \text{ J mol}^{-1} \text{ K}^{-1} \\ S_{H_2}^\circ &= 130,587 \text{ -- --} \\ S_{O_2}^\circ &= 205,29 \text{ -- --} \end{aligned}$$

$$G_{H_2O}^\circ = H_{H_2O}^\circ - T \cdot S_{H_2O}^\circ = -306,690 \text{ kJ mol}^{-1}$$

Výpočet pro jihou $T = 373 \text{ K}$ $C_p^m = 75,383 \text{ J K}^{-1} \text{ mol}^{-1}$

$$H(T) = H^\circ + \int_{T^\circ}^T C_p^m dT = H^\circ + C_p^m \cdot (T - T^\circ) = -280,184 \text{ J mol}^{-1}$$

$$S(T) = S^\circ + \int_{T^\circ}^T \frac{C_p^m}{T} dT = S^\circ + C_p^m \cdot \ln \frac{T}{T^\circ} = 86,82 \text{ J mol}^{-1} \text{ K}^{-1}$$

$$G(T) = H(T) - T \cdot S(T) = -312,594 \text{ J mol}^{-1}$$

Výpočet pro tlak $p = 50 \text{ atm}$ ($V_m = 18 \text{ cm}^{-3}$)

$$\begin{aligned} G_2(p) &= G(p_\infty) + V^m \cdot (p - p_\infty) = \\ &= -312,594 + 18 \cdot 10^{-6} \cdot (50 - 1) \cdot 101,325 = -312,505 \text{ J mol}^{-1} \end{aligned}$$

Fárový přechod

T[K]	$\Delta H_{vap}^\circ [kJ \cdot mol^{-1}]$
298	44.01
373	40.67

$$H_{H_2O}^\circ(373K) = H^\circ(373) + \Delta H_{vap}^\circ(373, 1Atm) = -280184 + 40.67 \cdot 10^3 = \\ \Delta H_{VAP}^\circ = \underline{\underline{-239914 \text{ J mol}^{-1}}}$$

$$S^\circ(373) = S^\circ(298) + \frac{\Delta H_{vap}^\circ}{T_v} = 86.85 + \frac{40670}{373} = \underline{\underline{195.88 \text{ J mol}^{-1} K^{-1}}}$$

$$G^\circ(373) = H^\circ(373) - T_v \cdot S^\circ(373) = \underline{\underline{-312594 \text{ J mol}^{-1}}} = G^\circ(373)$$

Plyn hny stav: $T=473K, n=1Atm, \text{id. Gas.}$ TAB($373-500K$)

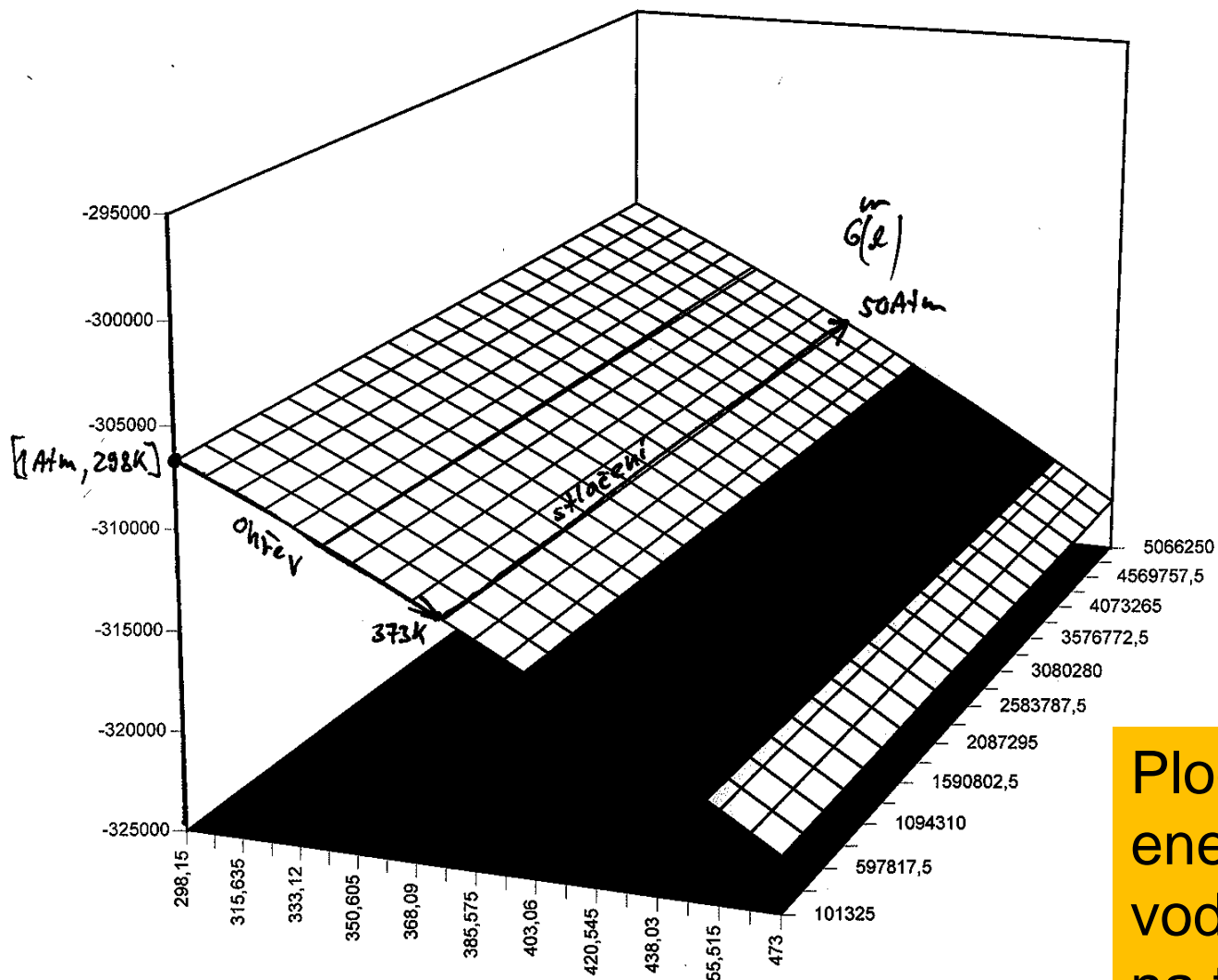
$$H^\circ(T) = H^\circ(373) + \int_{T_v}^T C_p dT = 1 \quad \text{TAB: } C_p^\circ(m) = 30.12 + 11.30 \cdot T \\ = H^\circ(373) + \int_{T_v}^T (a + b \cdot T) dT = H^\circ(373) + a \cdot (T - T_v) + \frac{b}{2} (T^2 - T_v^2) = \\ = \underline{\underline{241657 \text{ J mol}^{-1}}}$$

$$S^\circ(T) = S^\circ(373) + \int_{T_v}^T \frac{C_p}{T} dT = S^\circ(373) + \int_{T_v}^T \frac{(a + b \cdot T)}{T} dT = \\ = S^\circ(373) + a \cdot \ln \frac{T}{T_v} + b \cdot (T - T_v) = \underline{\underline{1332.997 \text{ J mol}^{-1} K^{-1}}}$$

$$G^\circ(T) = H^\circ - T \cdot S^\circ = \underline{\underline{-389050 \text{ J mol}^{-1}}}$$

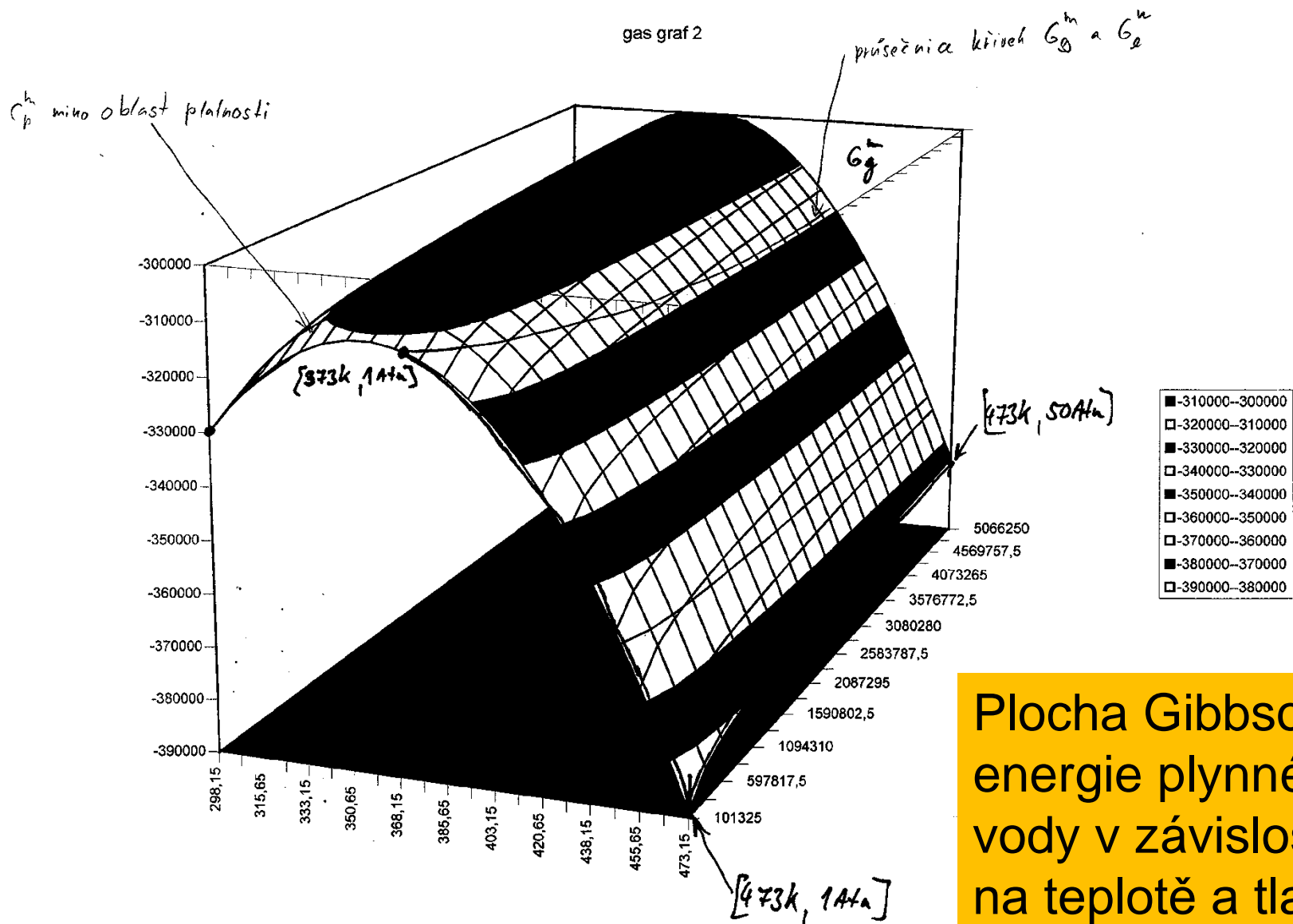
$T=473K, n=50Atm, \text{id. gas}$

$$G(p) = G(p_0) + RT \ln \frac{p}{p_0} = -389050 + 8.314 \cdot 473 \cdot \ln \frac{50}{1} = \\ = \underline{\underline{-373661 \text{ J mol}^{-1}}}$$



Plocha Gibbsovy
energie kapalné
vody v závislosti
na teplotě a tlaku

gas graf 2

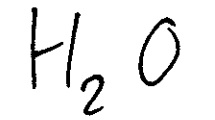


Plocha Gibbsovy
energie plynné
vody v závislosti
na teplotě a tlaku

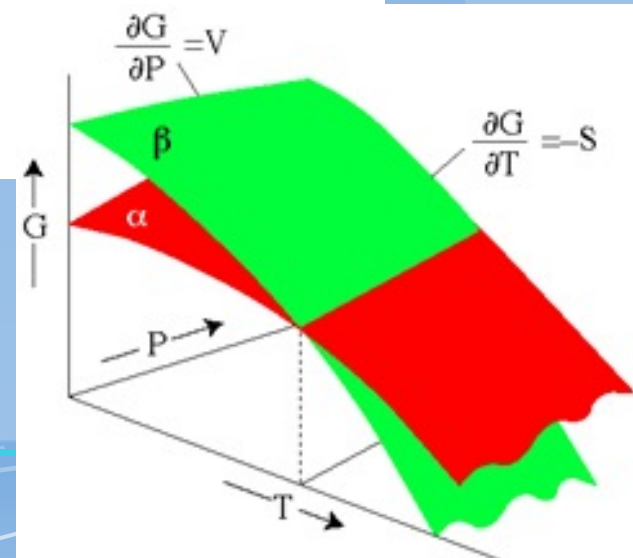
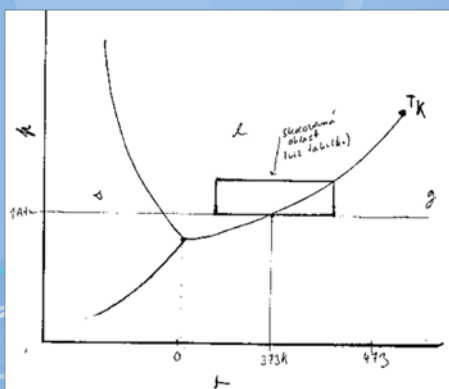
List5

$T_{\text{gas}} \text{ [Pa]}$	101325	1094310	2087295	3080280	4073265	5066250
298,15	23240,29	17359,36	15776,46	14829,64	14154,83	13631,91
306,8925	17294,57	11240,52	9610,641	8635,512	7940,374	7401,576
315,635	12202,74	5975,58	4298,718	3295,277	2579,811	2025,142
324,3775	7965,122	1564,843	-158,998	-1190,75	-1926,55	-2497,09
333,12	4582,002	-1991,39	-3762,21	-4822,28	-5578,4	-6164,81
341,8625	2053,664	-4692,85	-6510,65	-7599,02	-8375,47	-8977,76
350,605	380,3713	-6539,26	-8404,03	-9520,72	-10317,5	-10935,7
359,3475	-437,623	-7530,37	-9442,12	-10587,1	-11404,2	-12038,3
368,09	-400,078	-7665,94	-9624,67	-10798	-11635,4	-12285,3
376,8325	493,2325	-6945,74	-8951,46	-10153,1	-11010,8	-11676,6
385,575	2242,528	-5369,56	-7422,26	-8652,19	-9530,29	-10211,9
394,3175	4848,015	-2937,19	-5036,87	-6295,11	-7193,53	-7891,04
403,06	8309,893	351,5698	-1795,08	-3081,64	-4000,39	-4713,77
411,8025	12628,35	4496,913	2303,282	988,415	49,33443	-679,918
420,545	17803,57	9499,019	7258,409	5915,231	4955,822	4210,698
429,2875	23835,73	15358,06	13070,47	11698,98	10719,25	9958,251
438,03	30725	22074,21	19739,64	18339,84	17339,78	16562,91
446,7725	38471,53	29647,63	27266,08	25837,97	24817,57	24024,83
455,515	47075,48	38078,46	35649,93	34193,51	33152,78	32344,18
464,2575	56537	47366,86	44891,36	43406,62	42345,57	41521,09
473	66856,23	57512,97	54990,49	53477,44	52396,06	51555,71

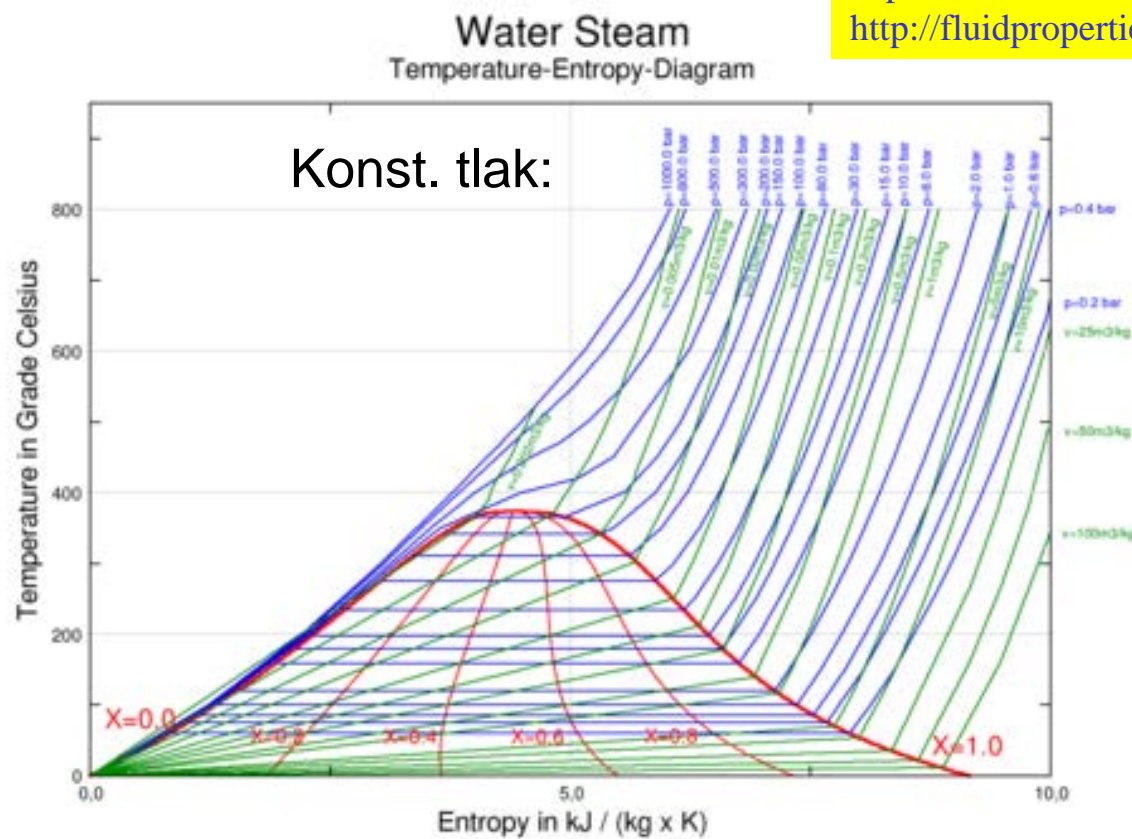
Výpočet
hranice fazových
oblastí $l-g$
pro soustavu



($l \rightarrow g$)
hranice veče
přibližně zde



Fázové diagramy a termodynamické funkce různých kapalin:
<http://fluidproperties.blogspot.cz/>



Temperature vs. specific entropy phase diagram for water/steam. In the area under the red dome, liquid water and steam coexist in equilibrium. The critical point is at the top of the dome. Liquid water is to the left of the dome. Steam is to the right of the dome. The blue lines/curves are **isobars** showing constant pressure. The green lines/curves are **isochors** showing constant specific volume. The red curves show constant quality.

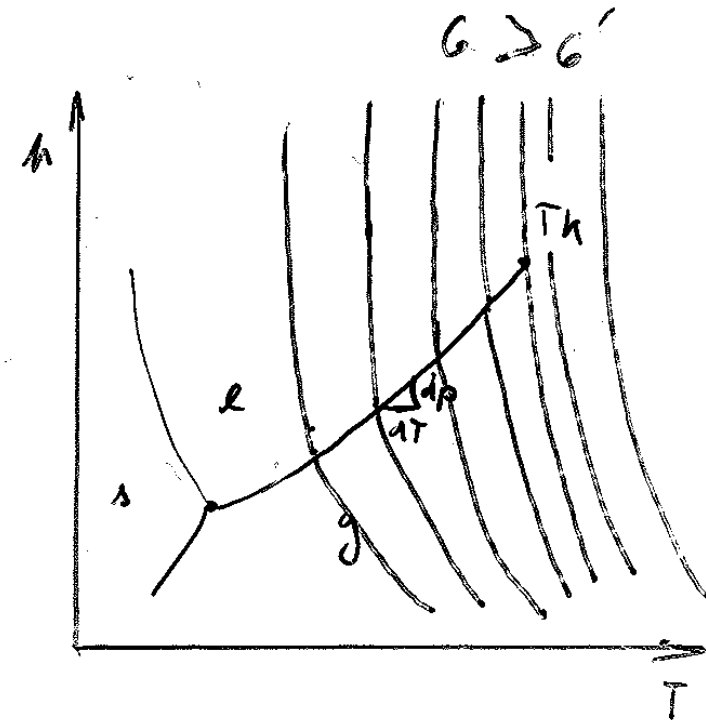
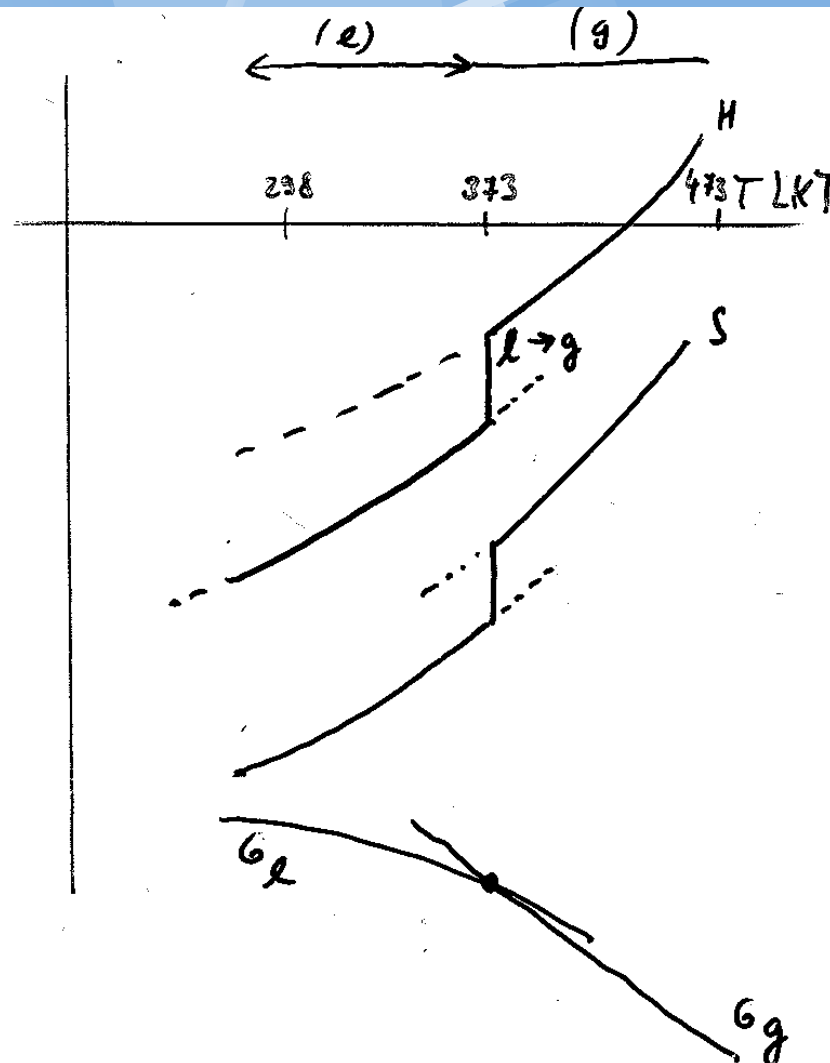
Read more: <http://www.answers.com/topic/phase-diagram#ixzz2fheybptD>

Závěry k příkladu H₂O (platí obecně)

- ① z experimentálních termod. dat lze spočítat termod. data H, S, G pro všechny fáze s, l, g
- ② pro dané T, p je stabilní fáze s nejnižší hodnotou G za těchto podmínek T a p
- ③ přísečníkové křivky ploch G^s, G^l, G^g udavají v souadnicích n a T hranice fázových oblastí ve fáz. diagramu
- ④ v oblasti nad kritickým bodem plochy G^l a G^g slyluvají v jednu
- ⑤ hodnoty G jsou velké ale málo se liší -) (*) hustota přesnosti výchozích dat. ($C_p, \Delta H_{f_1 \rightarrow f_2}, S^o, \dots$)
- ⑥ Je třeba sledovat interval platnosti exp. fázových dat $\Delta H_{f_1 \rightarrow f_2}, C_p$ (poroz. na $\Delta H_{f_1 \rightarrow f_2}$).

7. Molární Gibsova energie je pro čistou látku rovna jejímu Chemickému potenciálu.

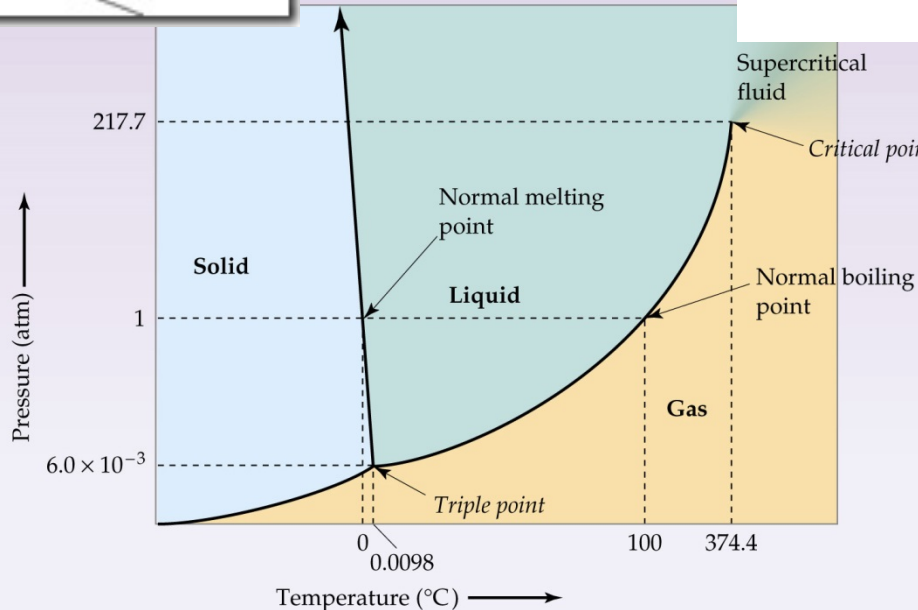
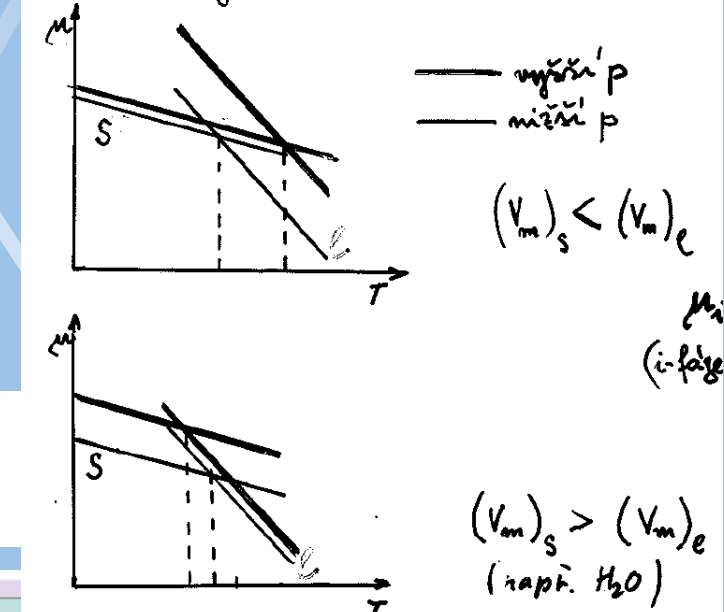
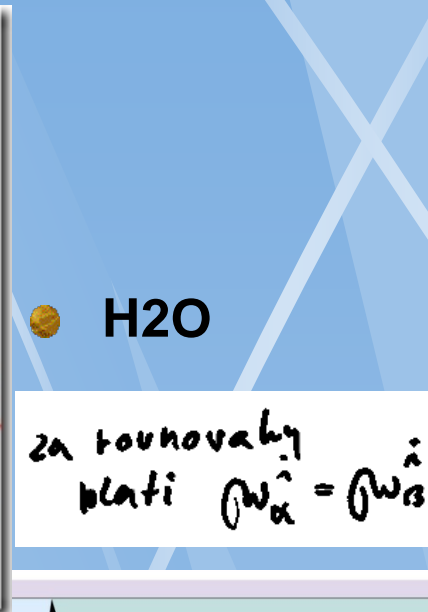
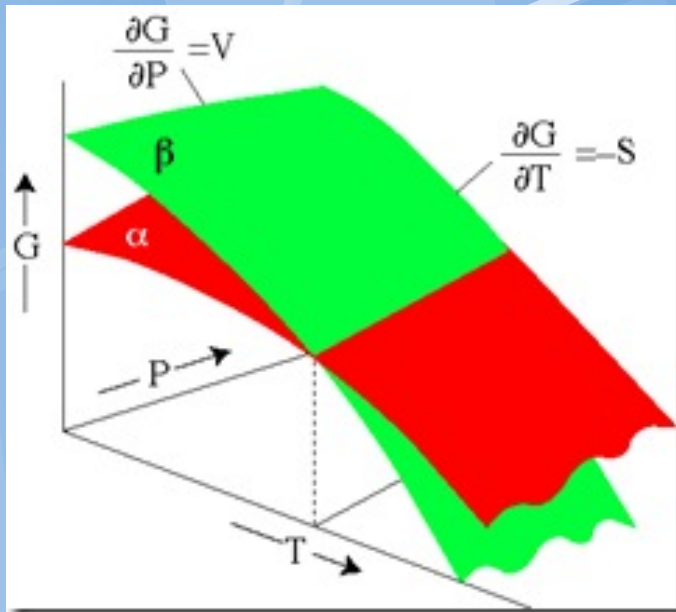
Text konzistence TD dat



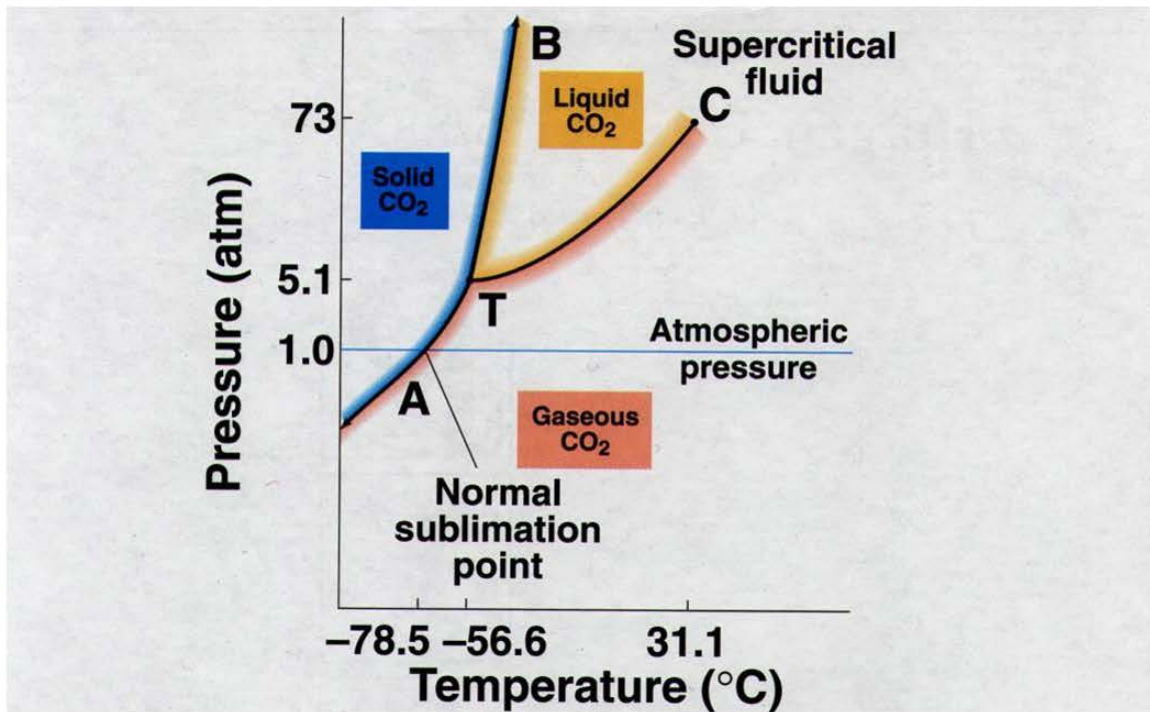
⌚ pozor pokud kombinujeme
f-a pro ruzne faze

⚠ Test konzistence

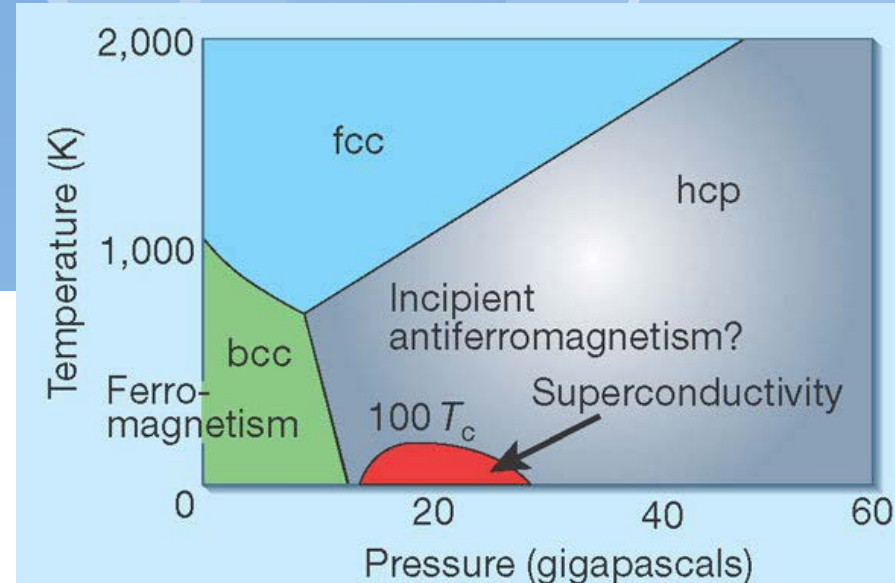
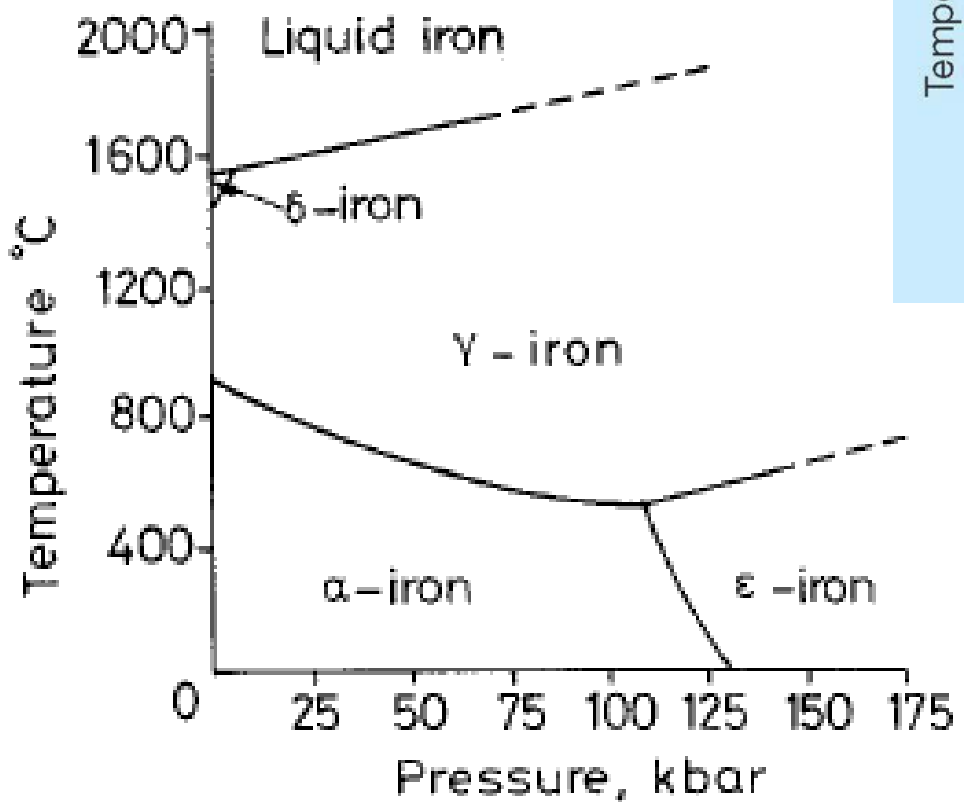
Jednosložkové fázové diagramy



CO_2 Phase Diagram for CO_2

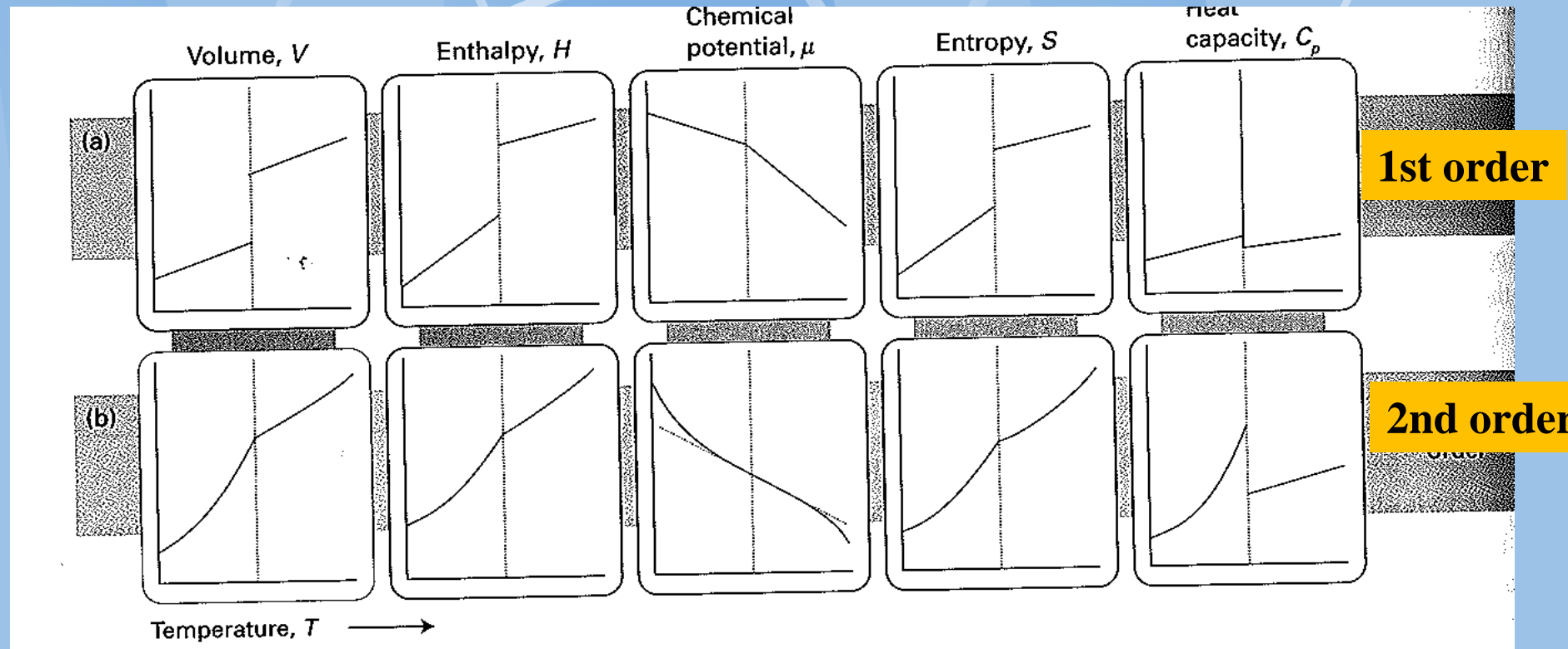


FD železa



Predikce fází

Klasifikace fázových přechodů



TD Kritérium pro
FT 1. řádu:

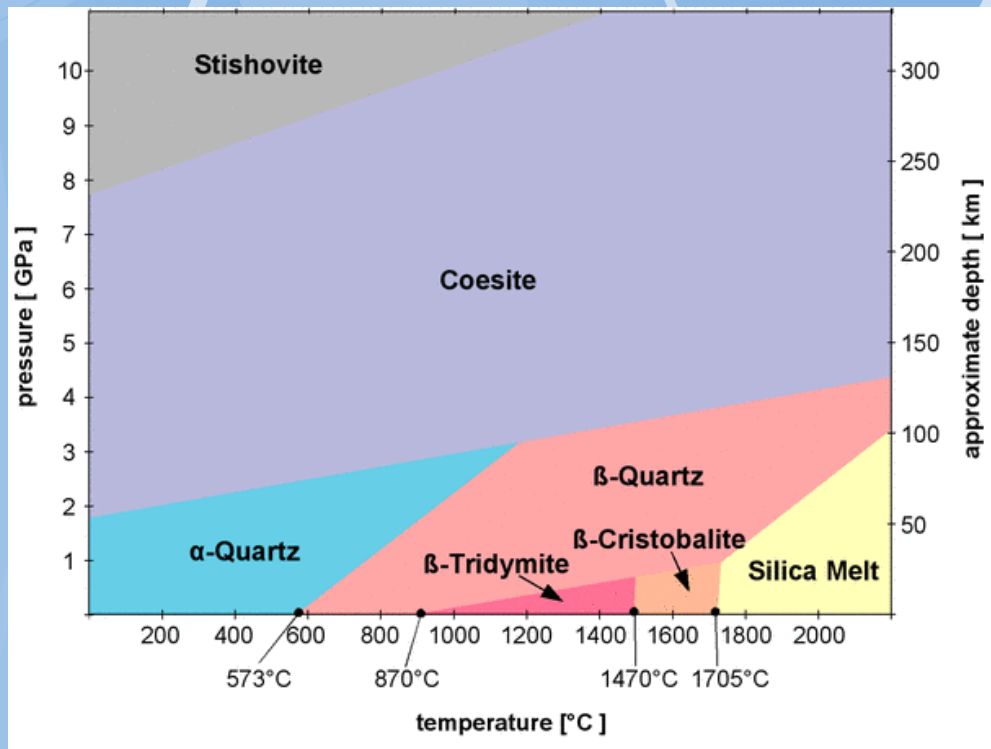
Jeli FT provázena
skokovou změnou
objemu a entropie
jde o FT 1. řádu

$$\left(\frac{\partial \mu(\beta)}{\partial p} \right)_T - \left(\frac{\partial \mu(\alpha)}{\partial p} \right)_T = V_m(\beta) - V_m(\alpha) = \Delta_{trs} V$$

$$\left(\frac{\partial \mu(\beta)}{\partial T} \right)_p - \left(\frac{\partial \mu(\alpha)}{\partial T} \right)_p = -S_m(\beta) + S_m(\alpha) = -\Delta_{trs} S = -\frac{\Delta_{trs} H}{T_{trs}}$$

Příklady řechodů 1. druhu

Přemístění složek, atomů, iontů, atd.



SiO_2

Galium
 $T_m=29,7645\ ^{\circ}\text{C}, (302,9145 \text{ K})$

Pravidla pro změny entropie fázových přechodů

Trountovovo pravidlo:

$$\Delta S_{\text{vapn}}^{\circ} = \frac{\Delta H_{\text{vapn}}^{\circ}}{T_{\text{bp}}} \approx 87 \text{ J/mol} \cdot \text{K}$$



Richardsovo pravidlo:

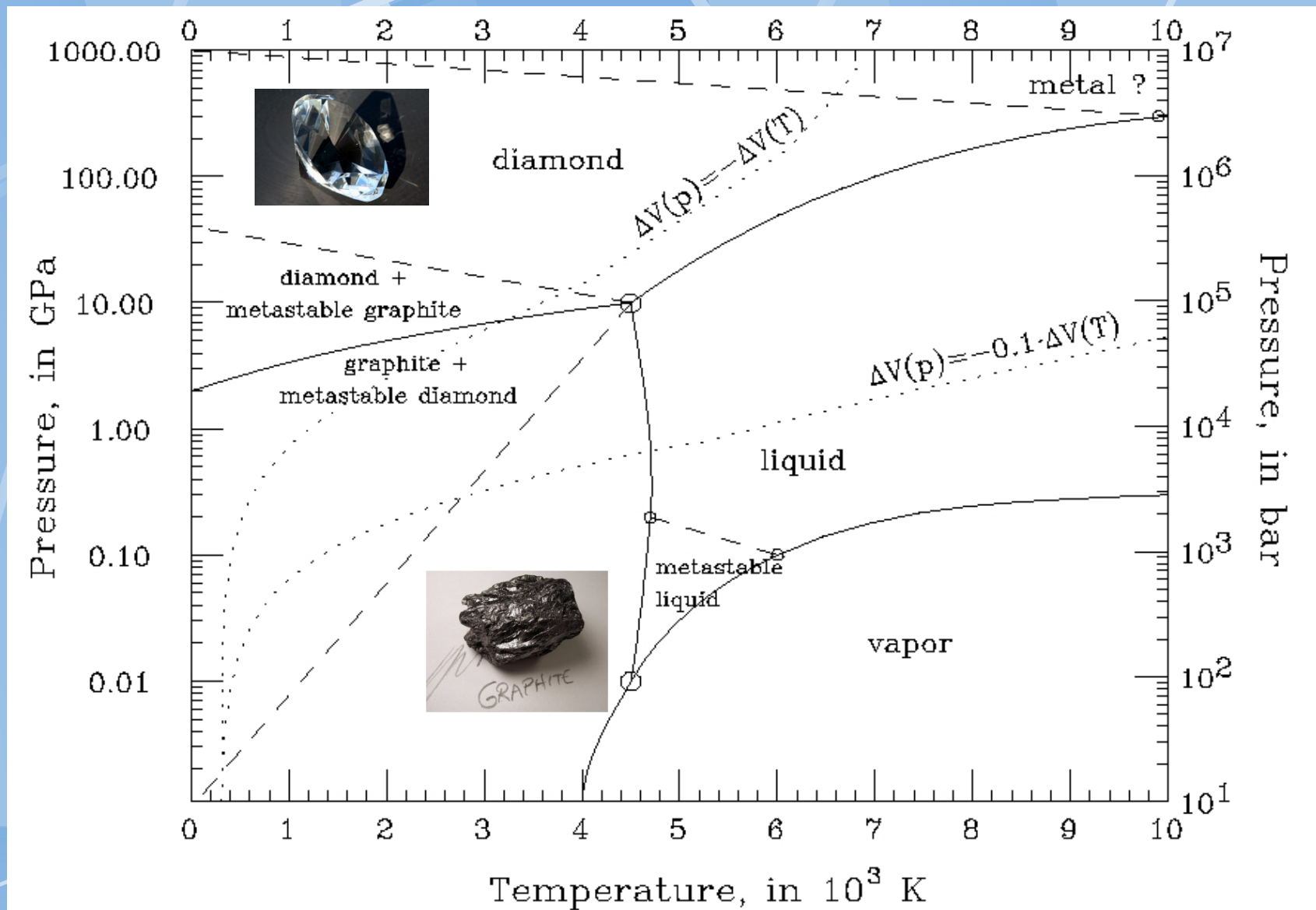
$$\Delta S_{m \rightarrow e} = \frac{\Delta H_{m \rightarrow e}}{T}$$

9.2 J/mol....prvky s kovovou vazbou

21-29 J/mol.... anorganické sloučeniny

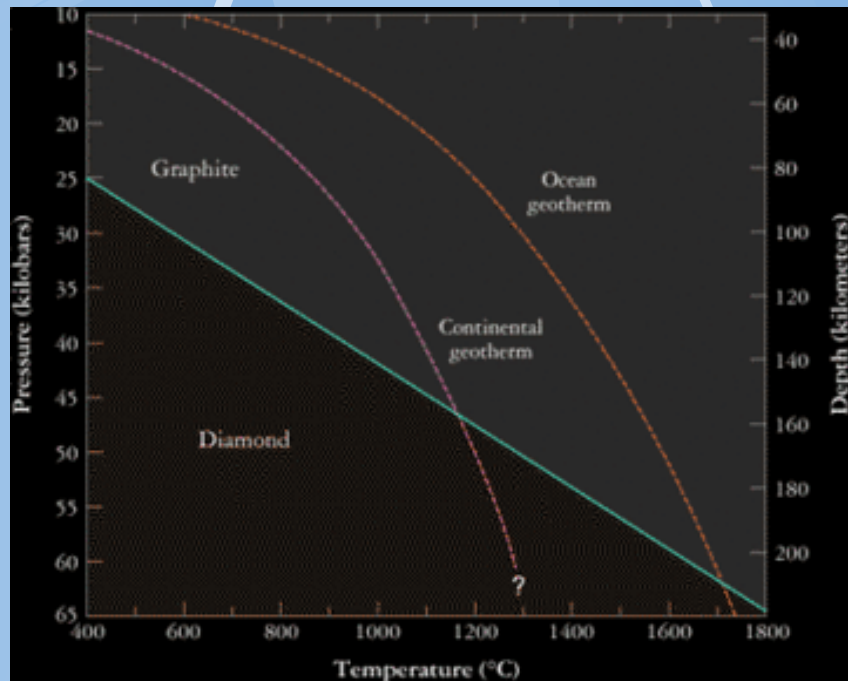
37-59 J/molnízkomolekulární organické látky

FD Uhlíku



Vznik diamantů

Na Zemi



Na jiných planetách



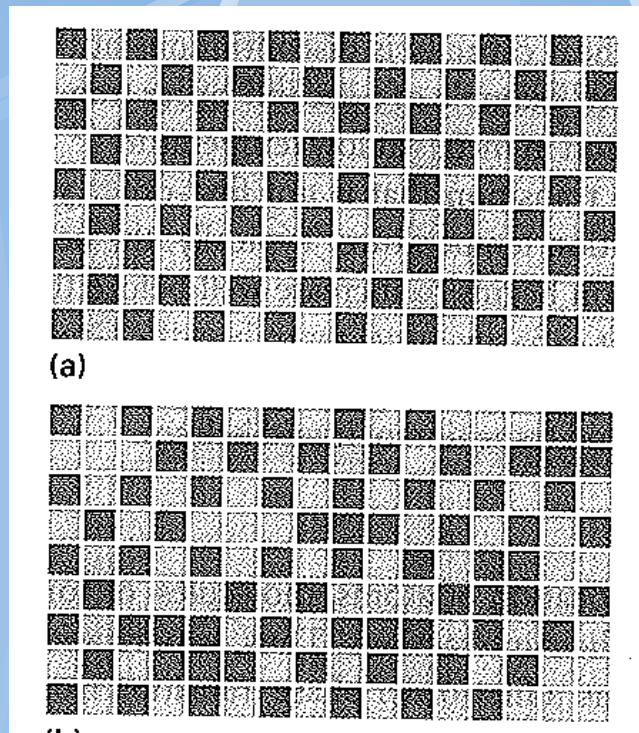
40 light-years away from Earth there is a planet made of solid diamond.

<http://www.dailygala.../a-diamond-bigge.html>

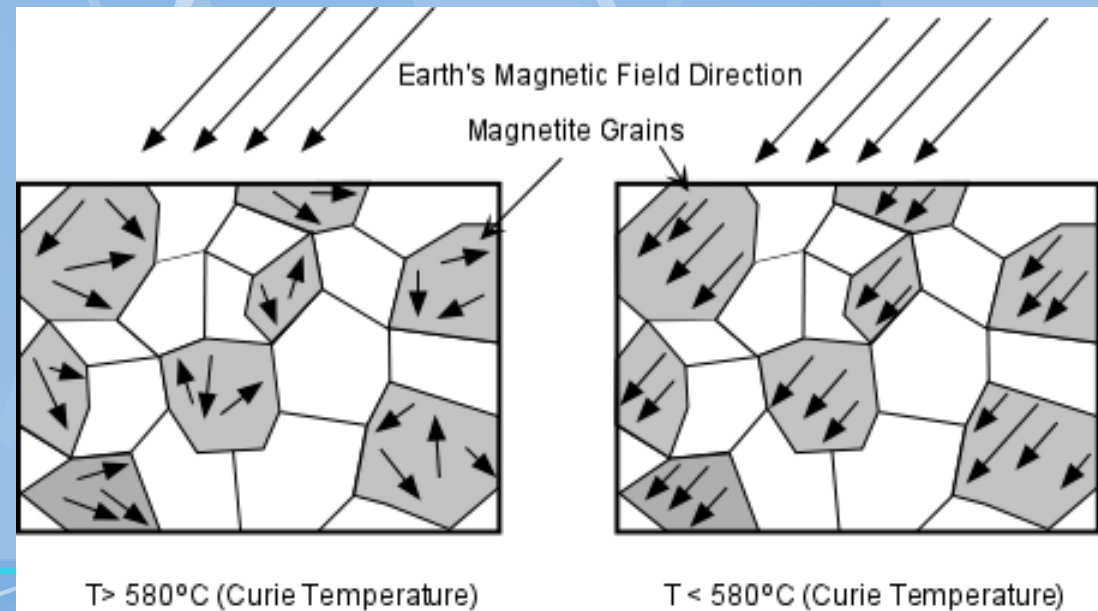
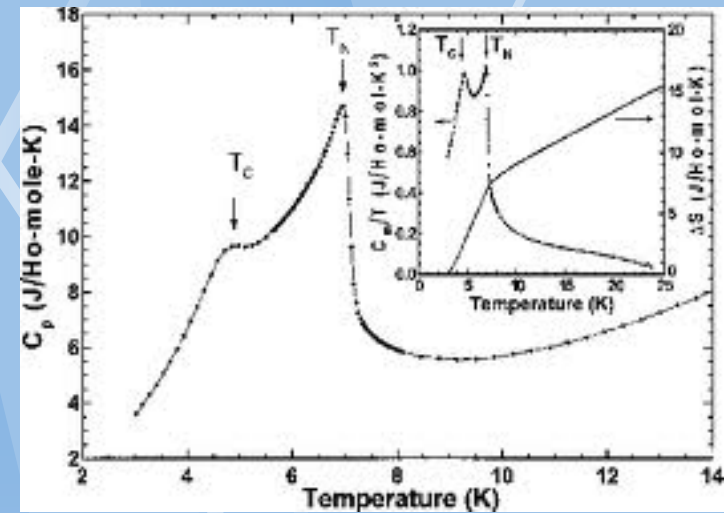
Příklady přeměn 2 druhu

Změny symetrie

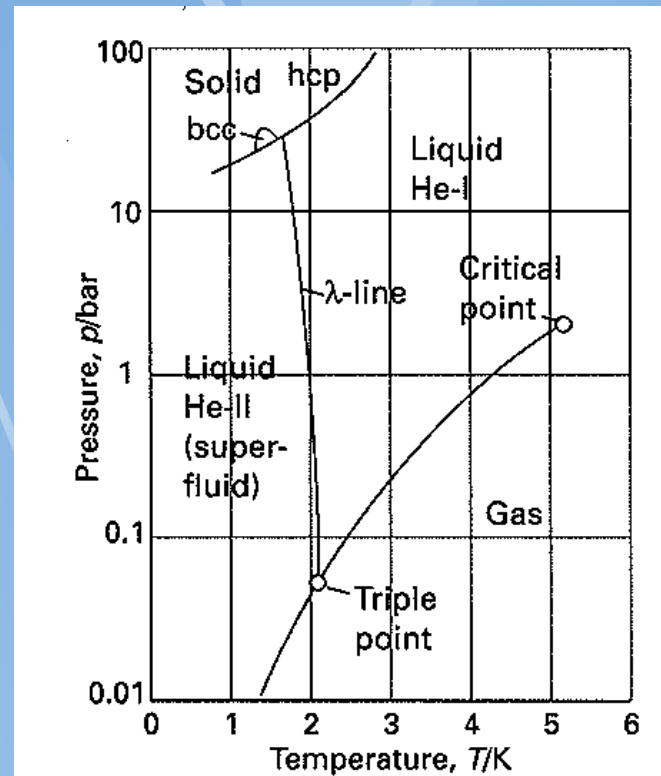
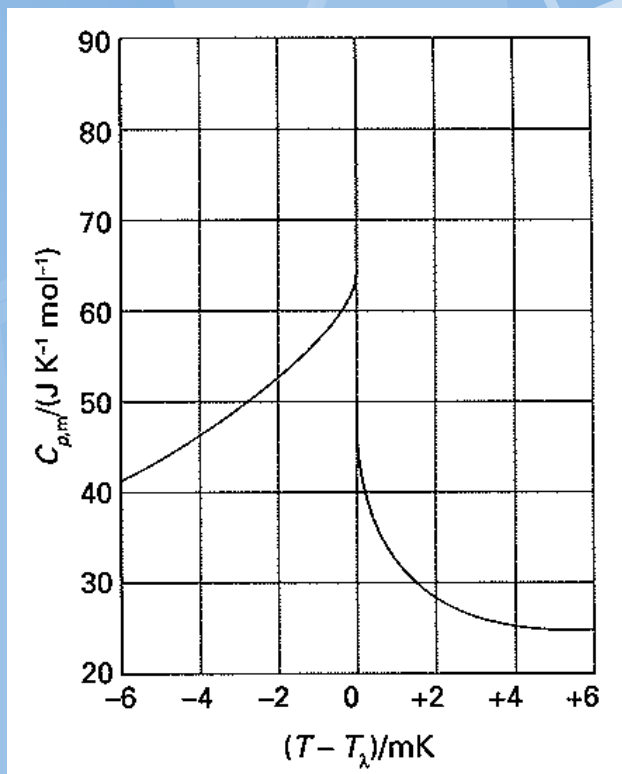
Uspořádávací přeměny



Ordering,
magnetization,



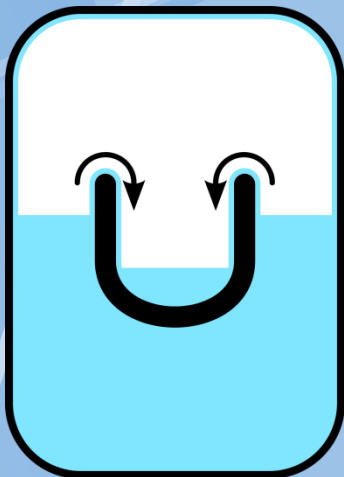
Supravodivost He



The λ -curve for helium,

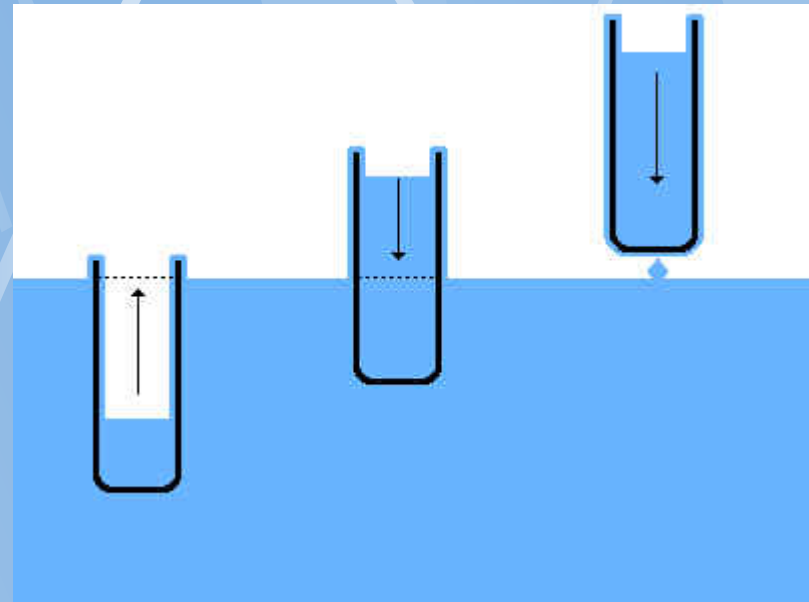
Supravodivá oblast helia

Superliquid He



Superfluid
(zero
viscosity)

<https://en.wikipedia.org/wiki/Superfluidity>



Clausius-Clapeyronova rovnice

Obecné odvození Clausius-Clapeyronovy r-ce

Taylorův rozvoj

Na ploše $G^g(T, p)$:

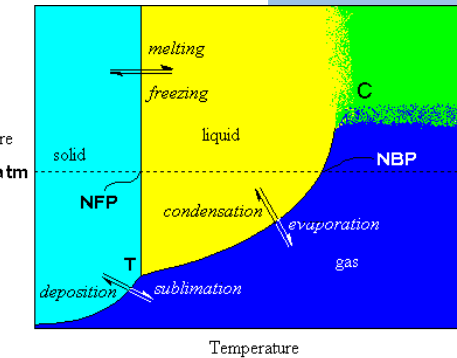
$$G(T, p)^g = \rho w^g = G^g(T_0, p_0) + \left(\frac{\partial G^g}{\partial p}\right)_T dp' + \left(\frac{\partial G^l}{\partial T}\right)_p dT' + \dots$$

Na ploše $G^l(T, p)$:

$$G(T, p)^l = \rho w^l = G^l(T_0, p_0) + \left(\frac{\partial G^l}{\partial p}\right)_T dp' + \left(\frac{\partial G^l}{\partial T}\right)_p dT'' + \dots \quad (14)$$

Jestliže $[T_0, p_0]$ leží na průnikové křivce G^g a G^l a nový bod $[T, p]$ leží také na ní, platí:

$$G^g(T, p) = G^l(T, p); \quad G^g(T_0, p_0) = G^l(T_0, p_0); \quad \underbrace{dp'}_{=dp} = \underbrace{dp''}_{=dp}, \quad \underbrace{dT'}_{=dT} = \underbrace{dT''}_{=dT}$$



Pak (13)-(14) díl:

$$= dp \quad = dT$$

$$\left(\frac{\partial G^g}{\partial p}\right)_T dp + \left(\frac{\partial G^g}{\partial T}\right)_p dT = \left(\frac{\partial G^l}{\partial T}\right)_p dp + \left(\frac{\partial G^l}{\partial p}\right)_T dT$$

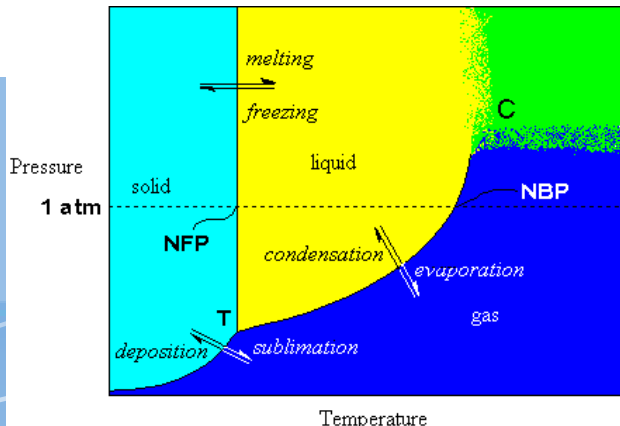
po upravách

$$\boxed{\frac{dp}{dT} = \frac{\left(\frac{\partial G^g}{\partial T}\right)_p - \left(\frac{\partial G^g}{\partial T}\right)_n}{\left(\frac{\partial G^g}{\partial p}\right)_T - \left(\frac{\partial G^g}{\partial p}\right)_n} = \frac{s^g - s^e}{V^g - V^e} = \frac{\Delta S_m^{g \rightarrow e}}{\Delta V_m^{g \rightarrow e}} = \frac{\Delta H^{g \rightarrow e}}{T \Delta V_m^{g \rightarrow e}}}$$

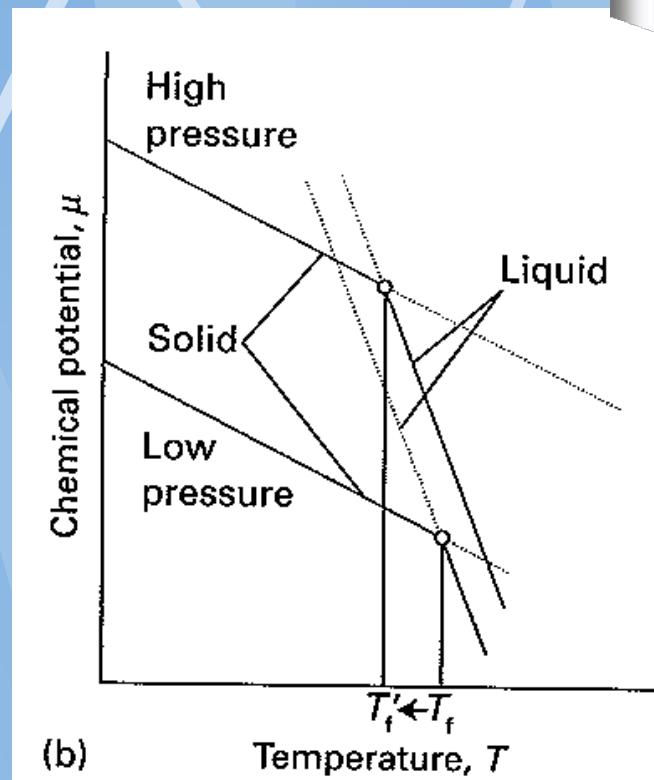
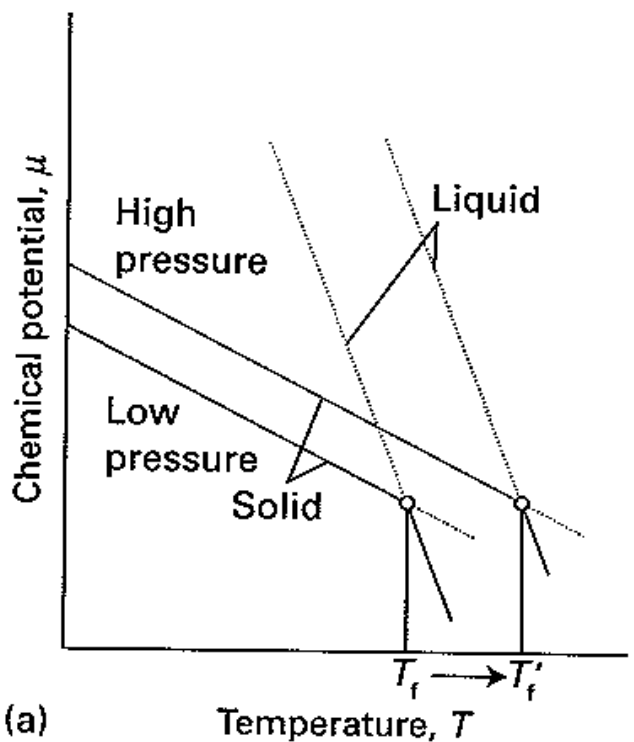
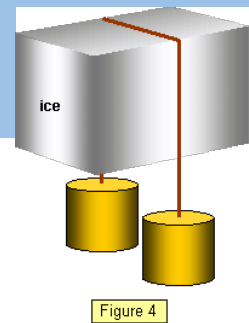
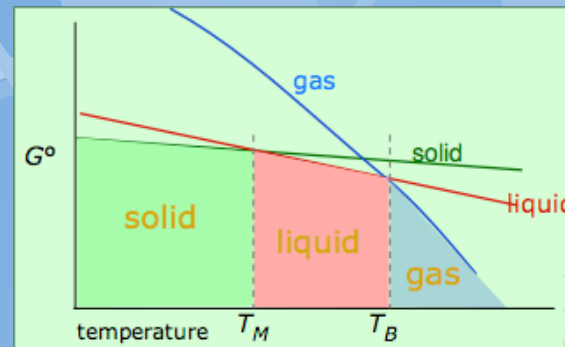
• platí obecně pro jakýkoliv fázový přechod

Apl. na id. plyny (zavedení V_m konst. fáze + stavová rovnice):

$$\frac{d \ln p}{dT} = \frac{\Delta H_{vap}}{RT^2} \Rightarrow \ln \frac{p_2}{p_1} = \left(\frac{1}{T_1} - \frac{1}{T_2} \right) \cdot \frac{\Delta H_{vap}}{R}$$



Vliv p a T na fázové transformace

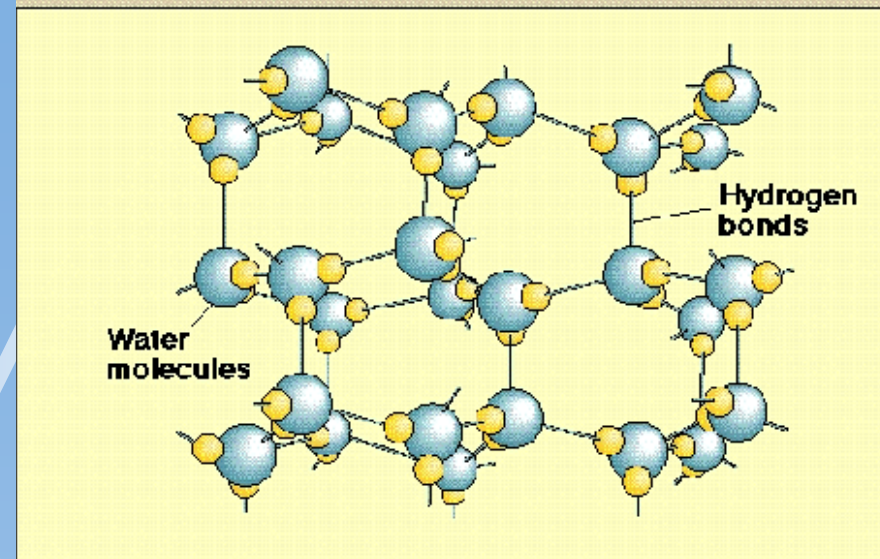
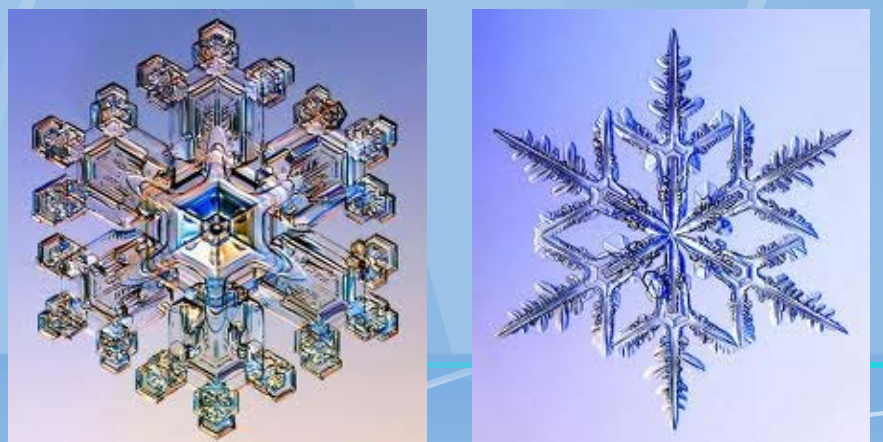
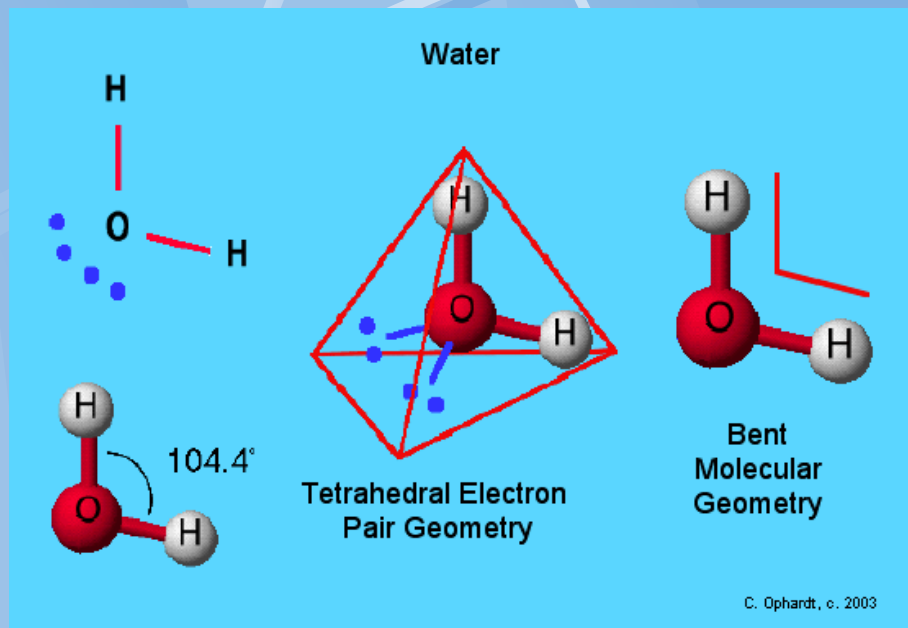


a) $V_m(s) < V_m(l)$ (většina látek)

b) $V_m(s) > V_m(l)$ (anomalie vody !!!!)

Obyčejná voda

The Crystal Lattice Structure of Ice



Anomálie vody

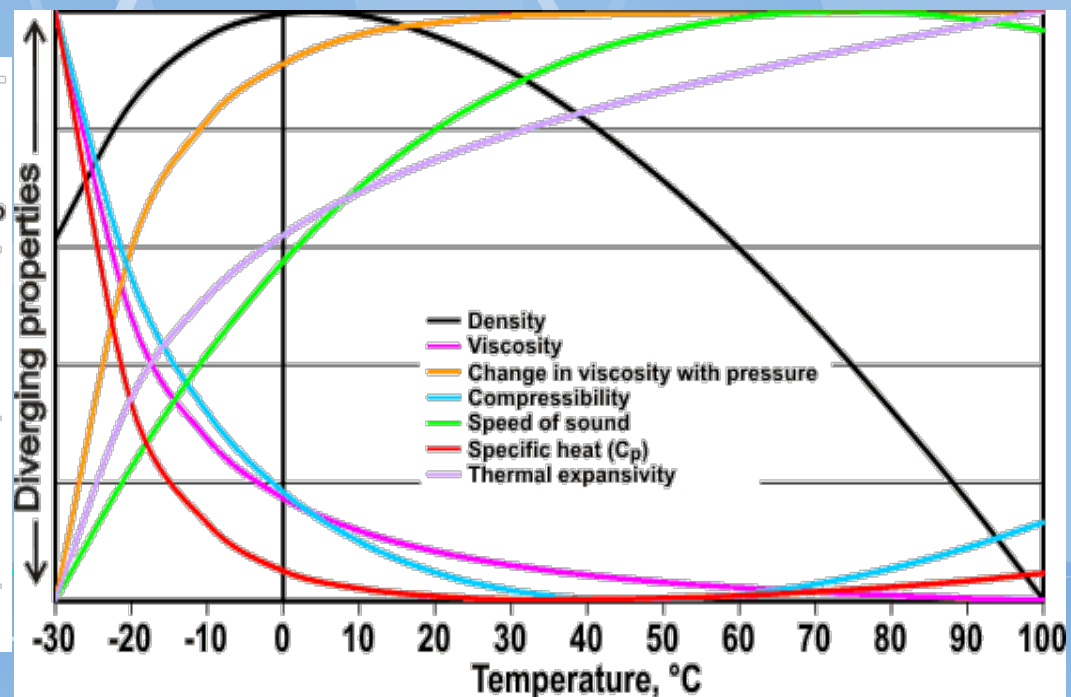
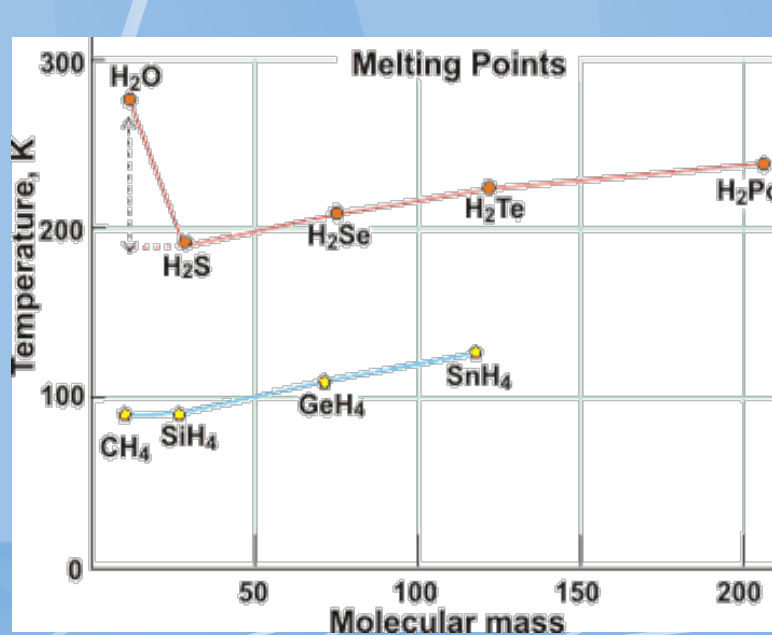
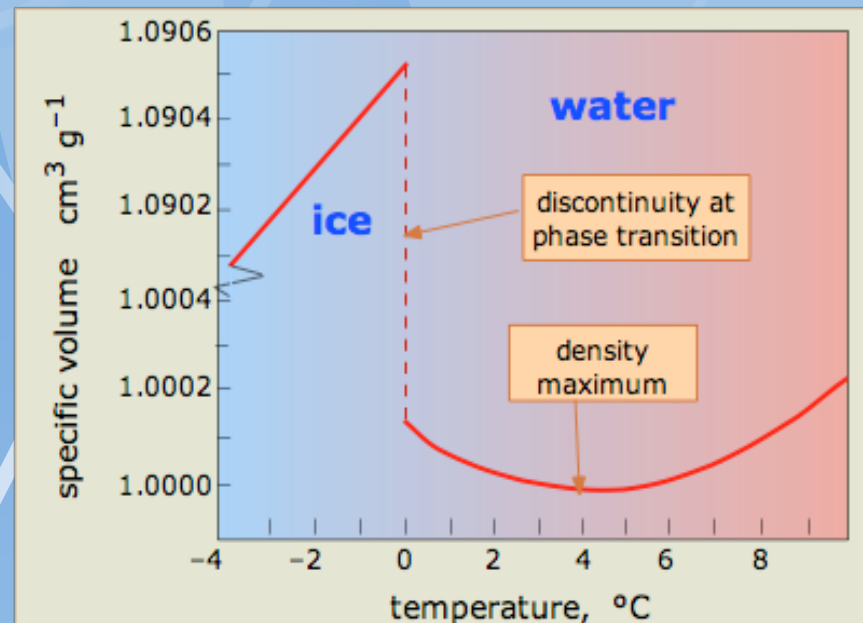
(popsáno 41 anomalií :-)

<http://www.chem1.com/acad/sci/aboutwater.html>

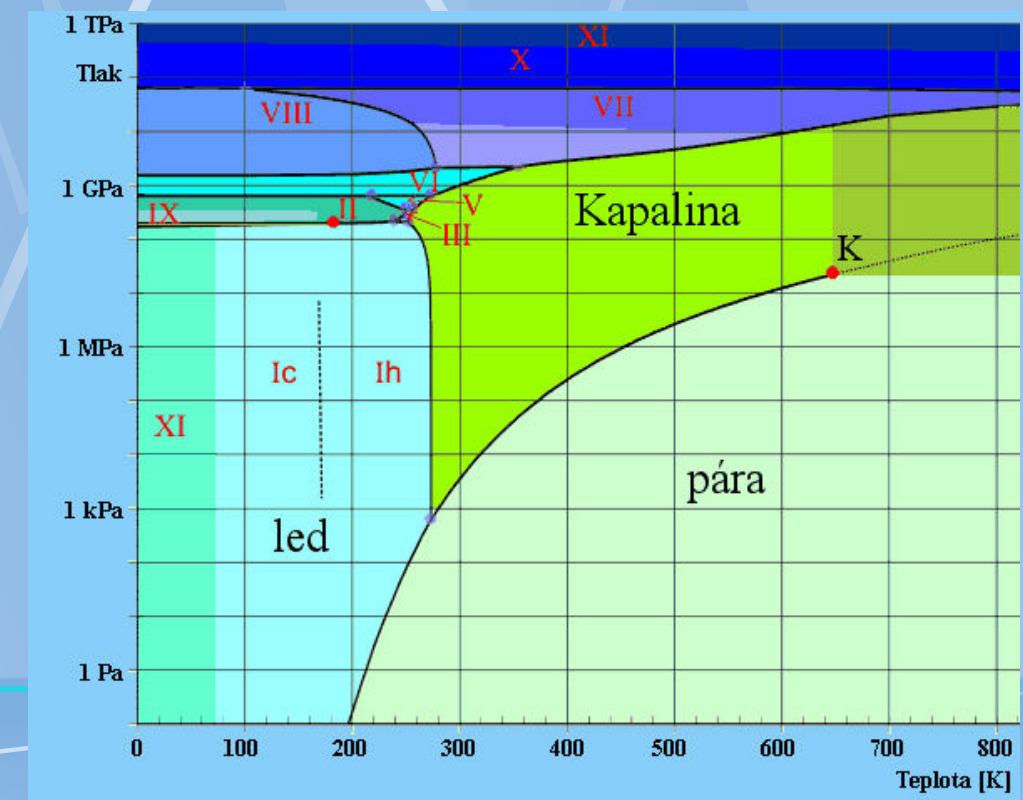
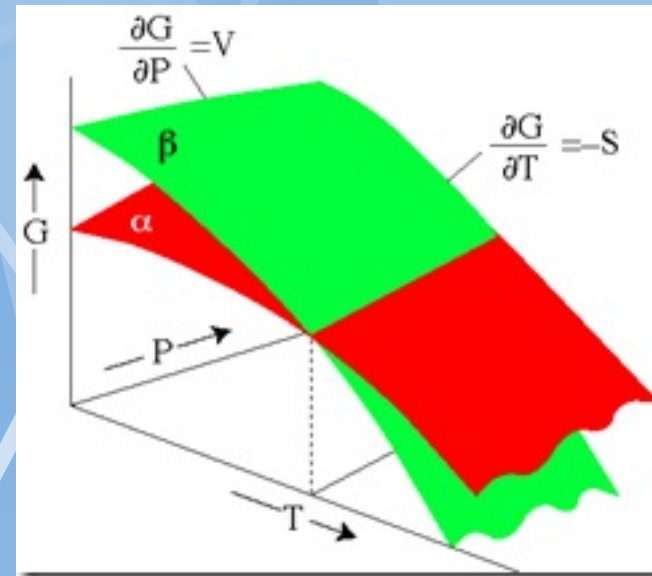
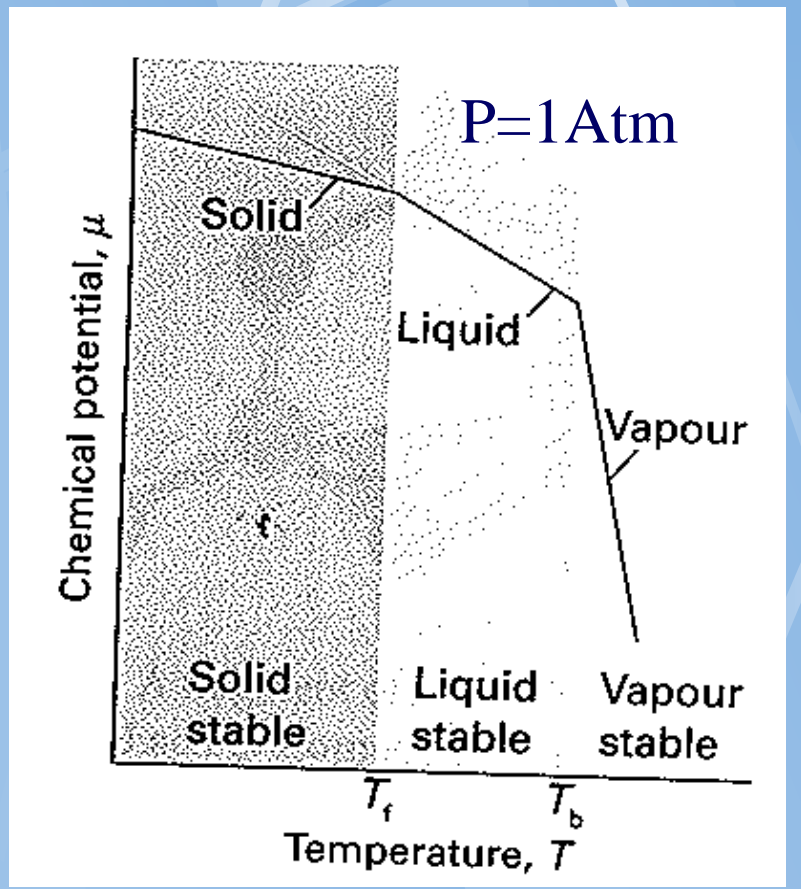
<http://academic.keystone.edu/jskinner/Limnology/AnomaliesOfWaterExplanations.htm>

http://www1.lsbu.ac.uk/water/thermodynamic_anomalies.html#fus

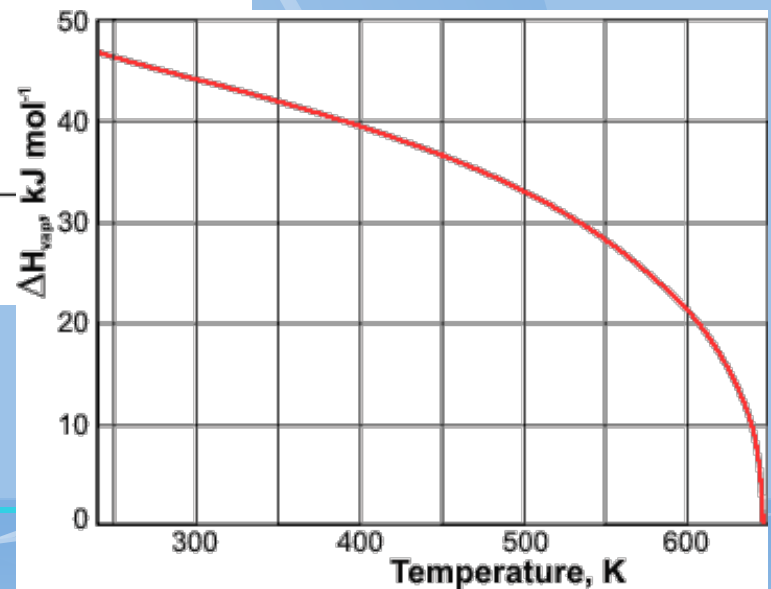
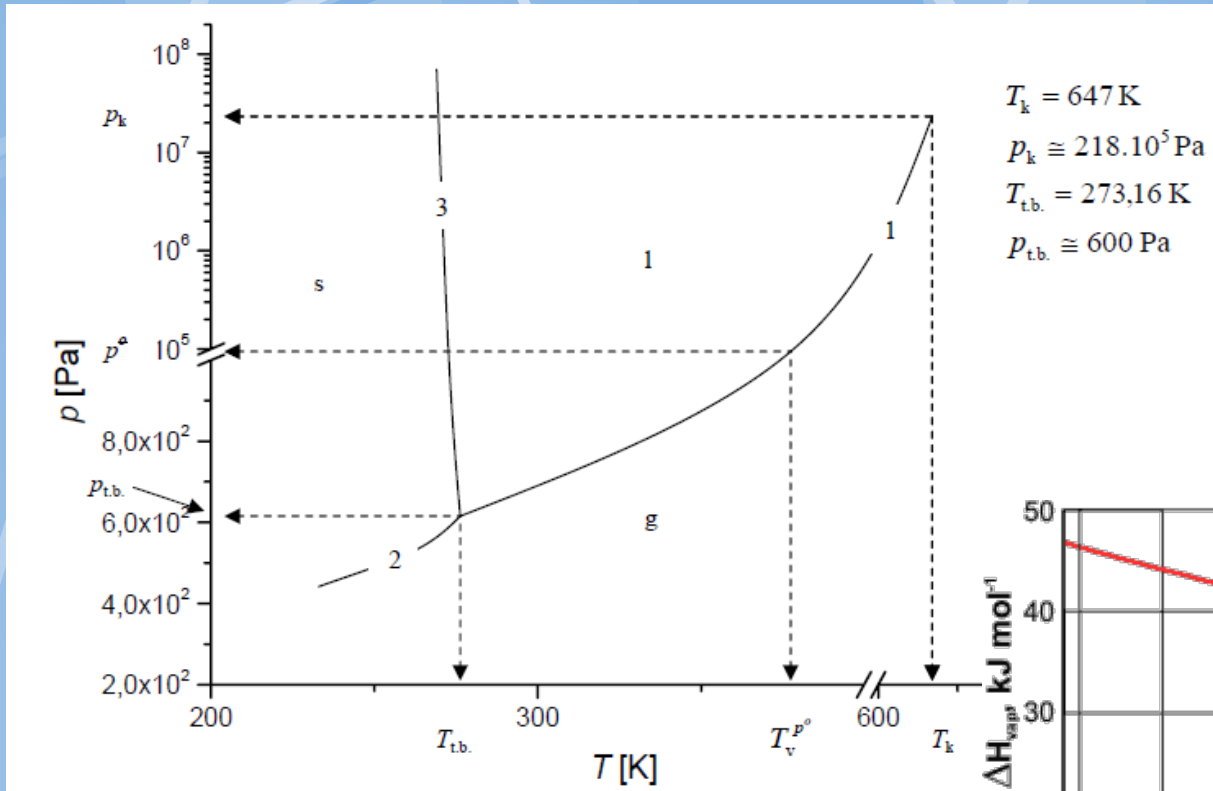
http://www1.lsbu.ac.uk/water/phase_anomalies.html

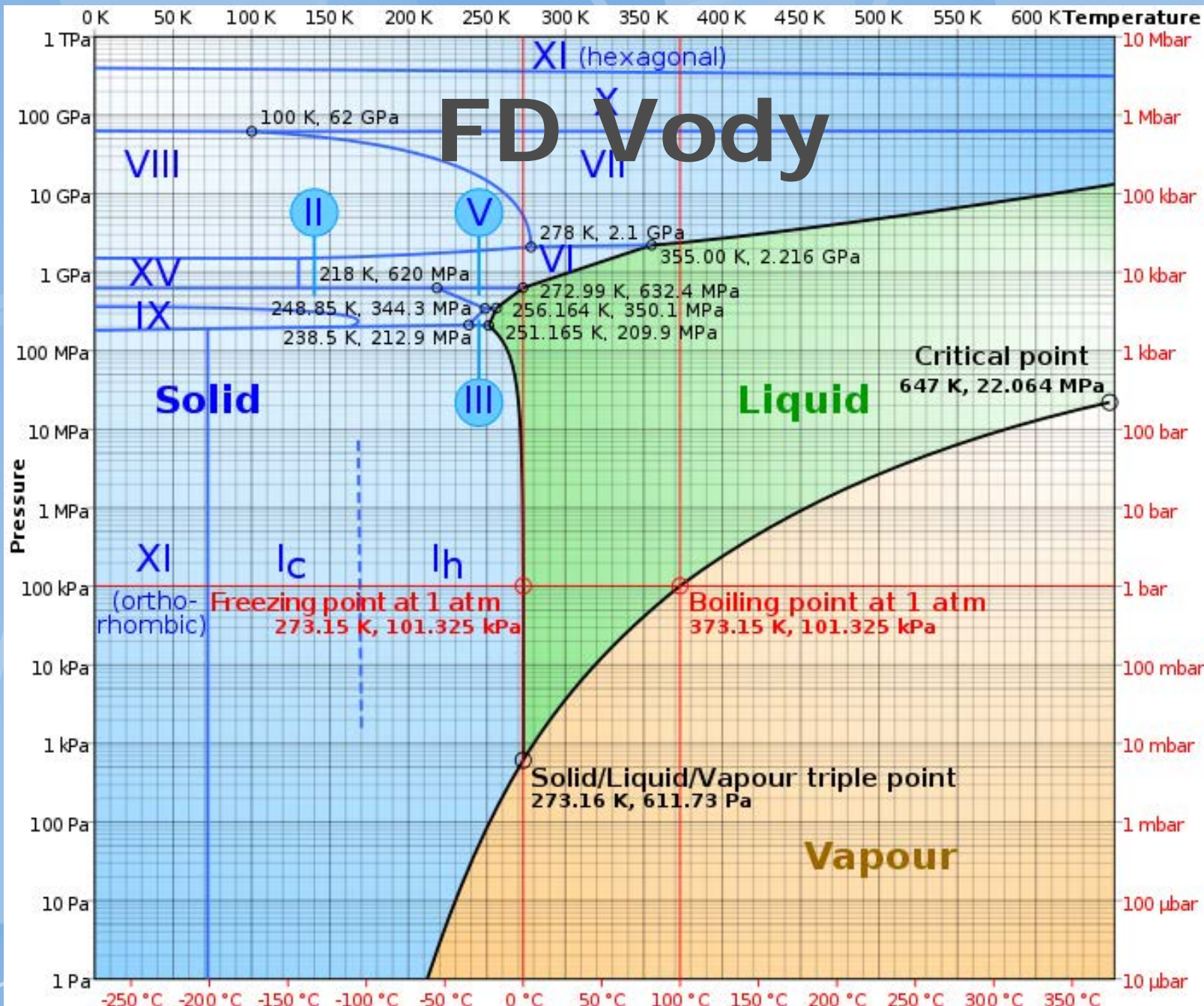


Gibbsova energie

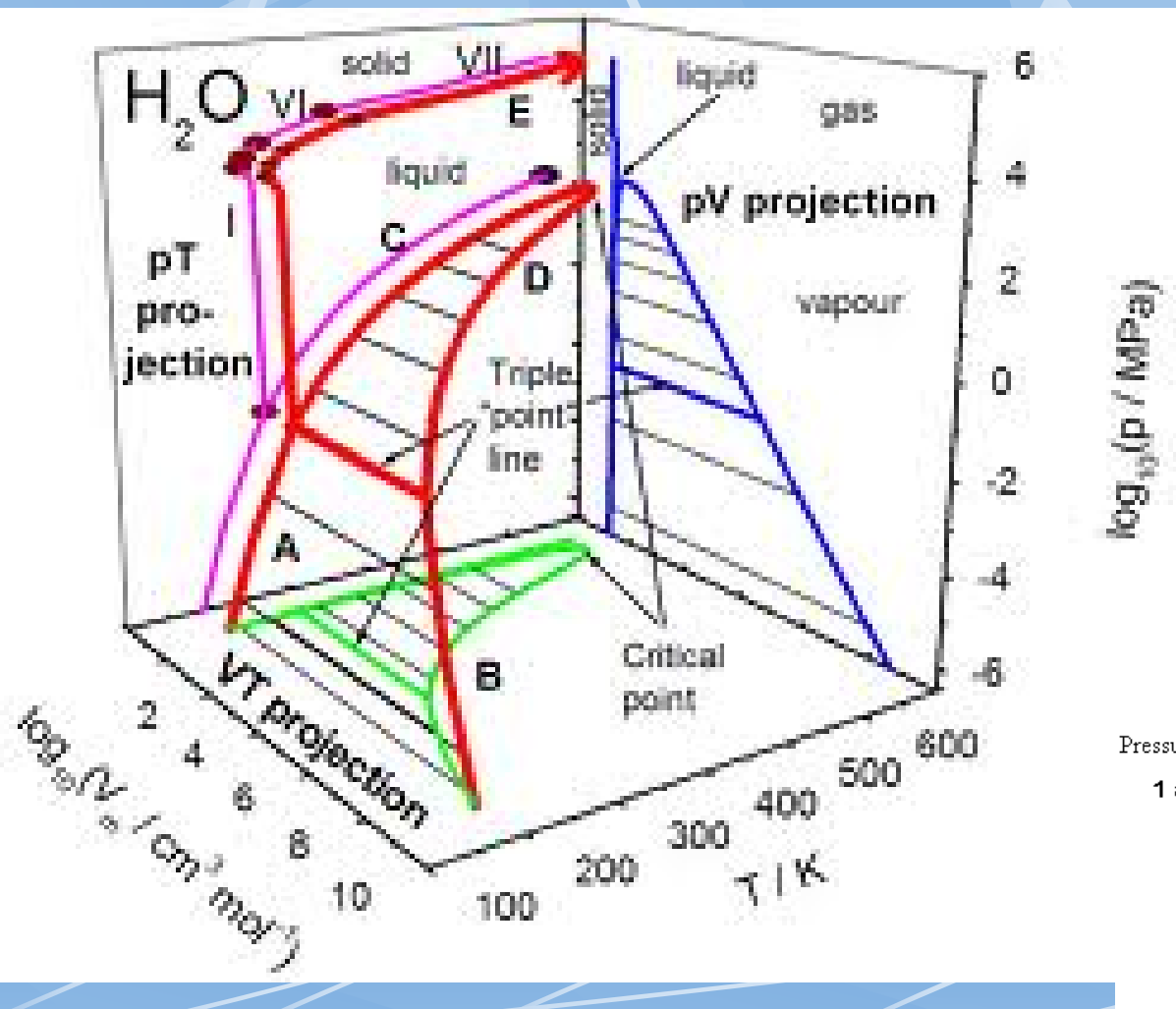


Kritický bod g-l vody

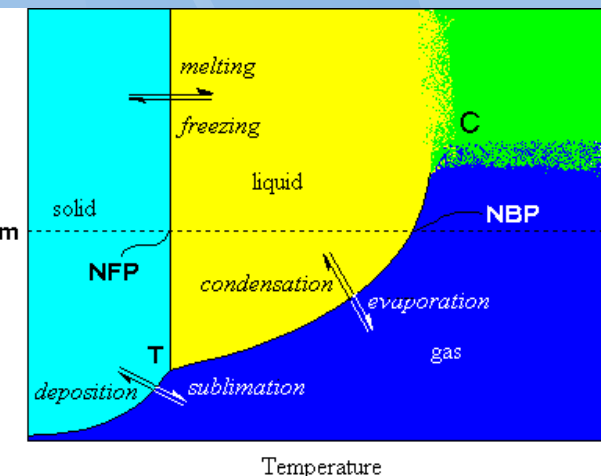




P-T-Vm projekce



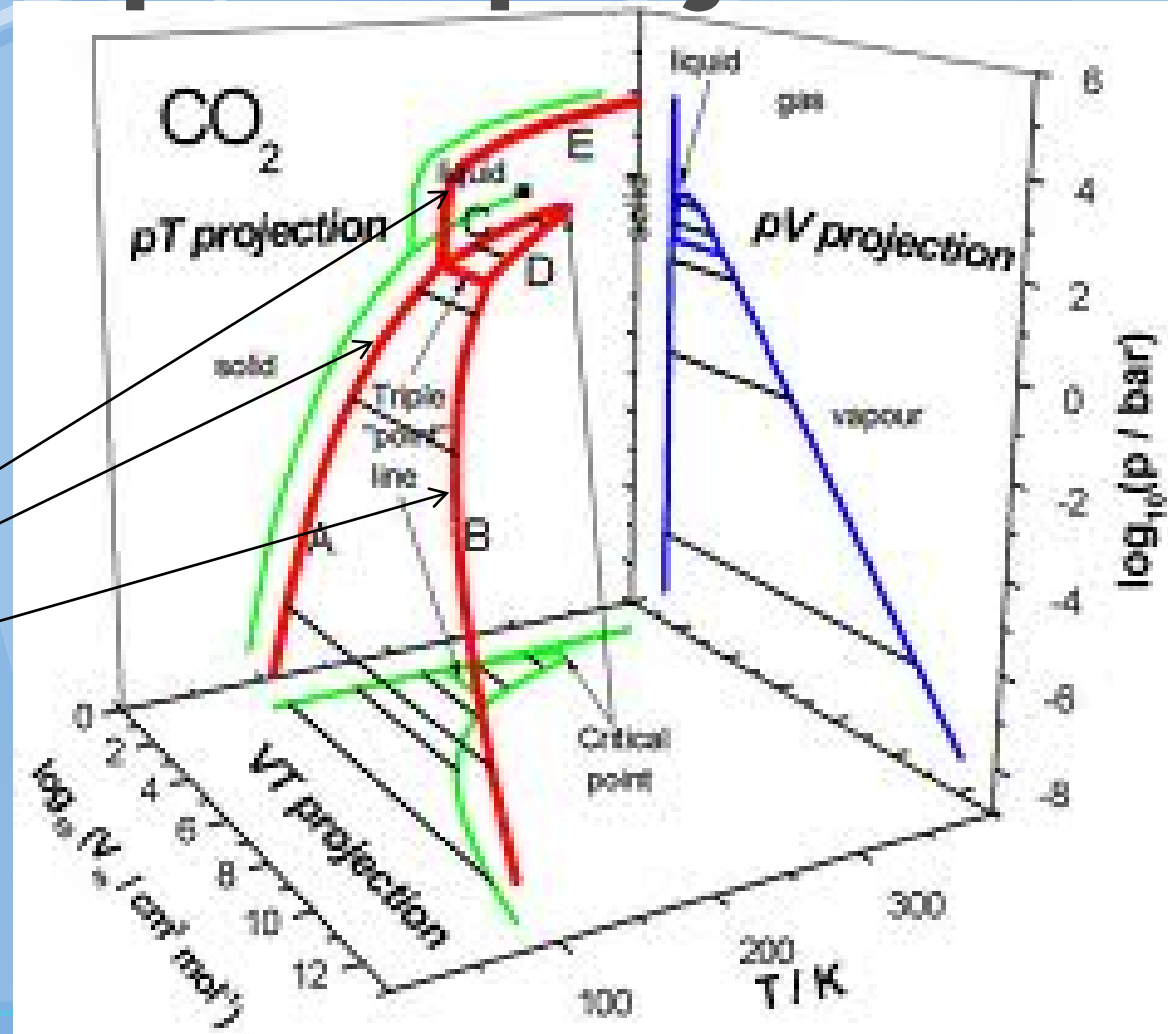
$(\partial P / \partial T)_V = 0$



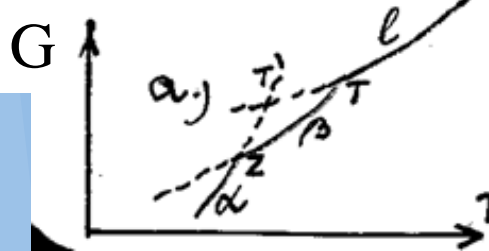
Temperature

T-p-Vm projekce

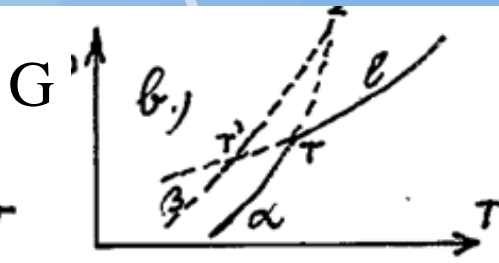
Molární objem kapalné a plynné fáze (tuhá prakticky splývá s kapalnou a není vynesena)



Nerovnovážné přeměny

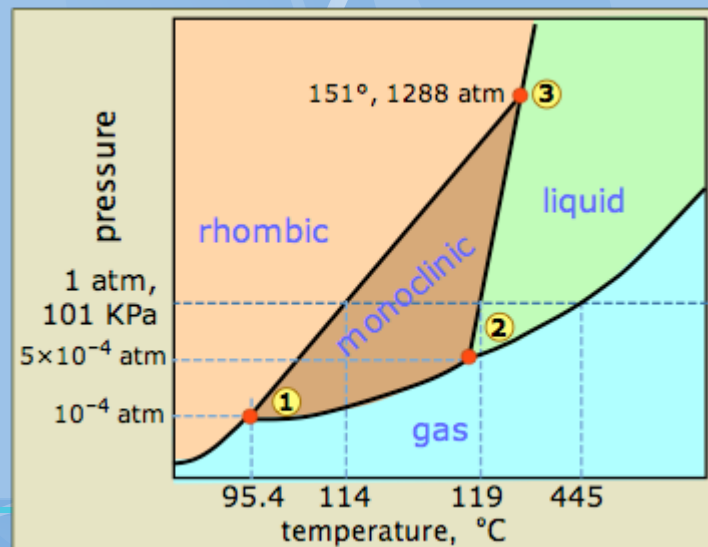


Přeskočení fáze



Přeskočení na metastabilní fázi

Metastabilní FD síry:



http://chemwiki.ucdavis.edu/Wikitexts/Simon_Fraser_Chem1%3A_Lower/States_of_Matter/Changes_of_State

Diskuse

Anomálie vody : <http://www.lsbu.ac.uk/water/explan4.html>

The heat of fusion of water with temperature exhibits a maximum at -17° C

Water has over twice the specific heat capacity of ice or steam

The specific heat capacity (CP and CV) is unusually high

The specific heat capacity CP has a minimum at 36°

The specific heat capacity (CP) has a maximum at about -45° C

The specific heat capacity (CP) has a minimum with respect to pressure

The heat capacity (CV) has a maximum

High heat of vaporization

High heat of sublimation

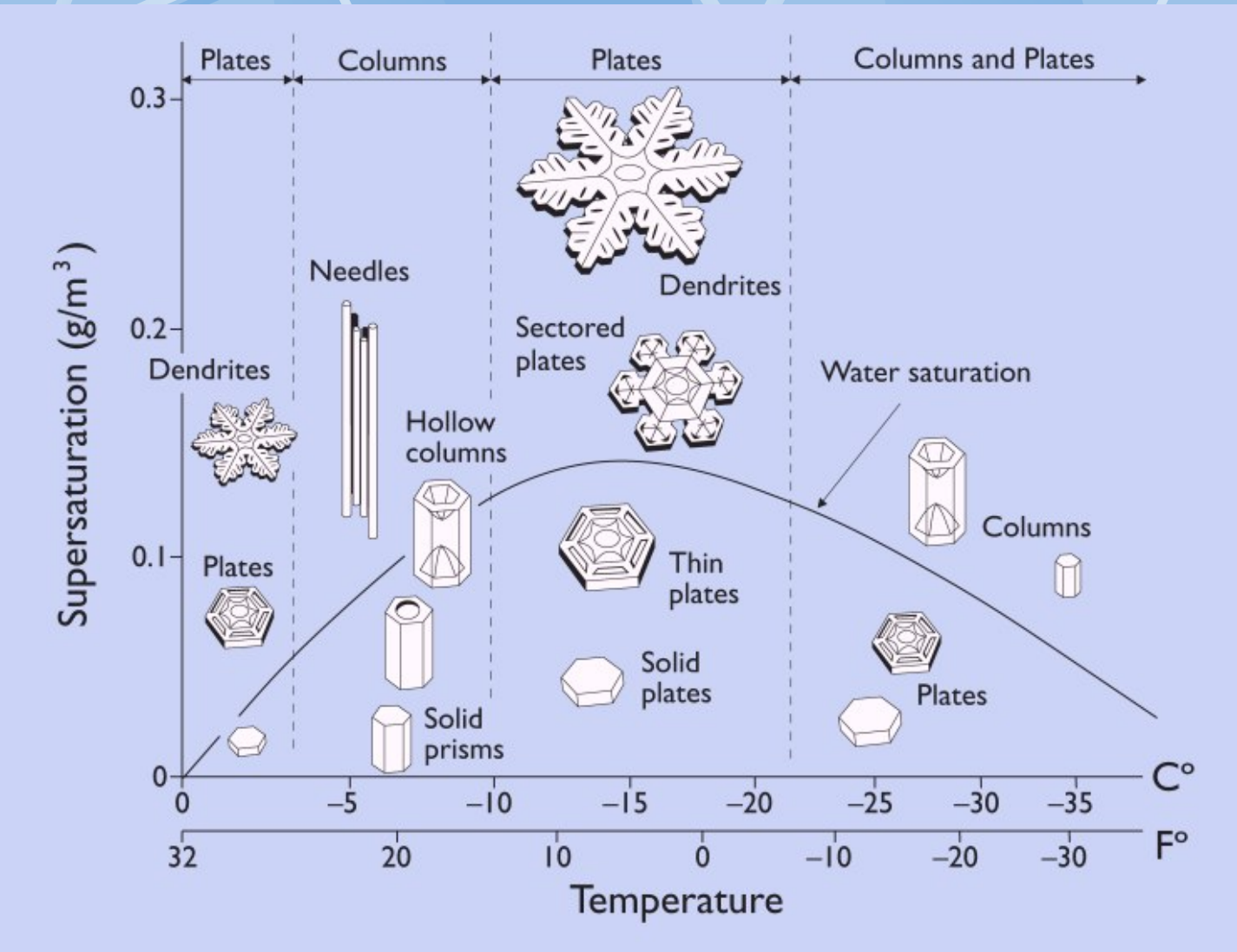
High entropy of vaporization

The thermal conductivity of water is high and rises to a maximum at about 130° C

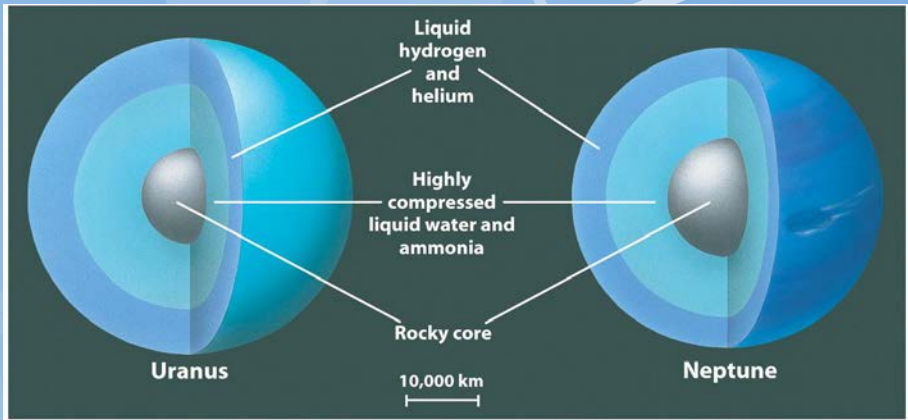
Voda



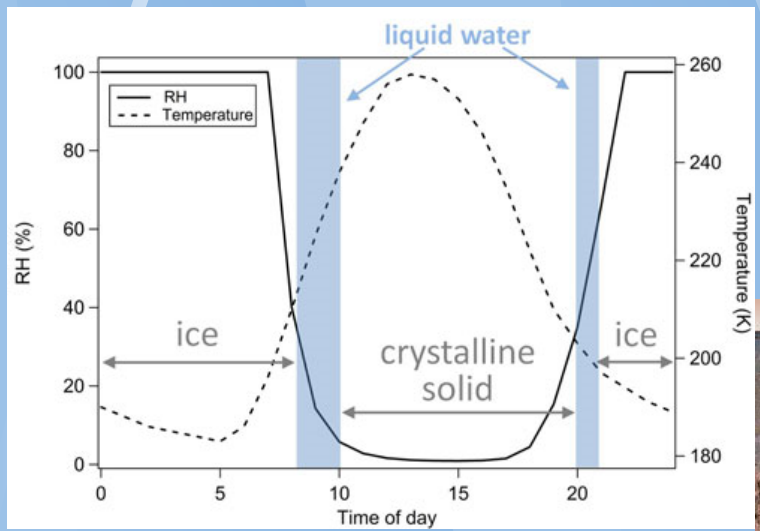
Diskuse



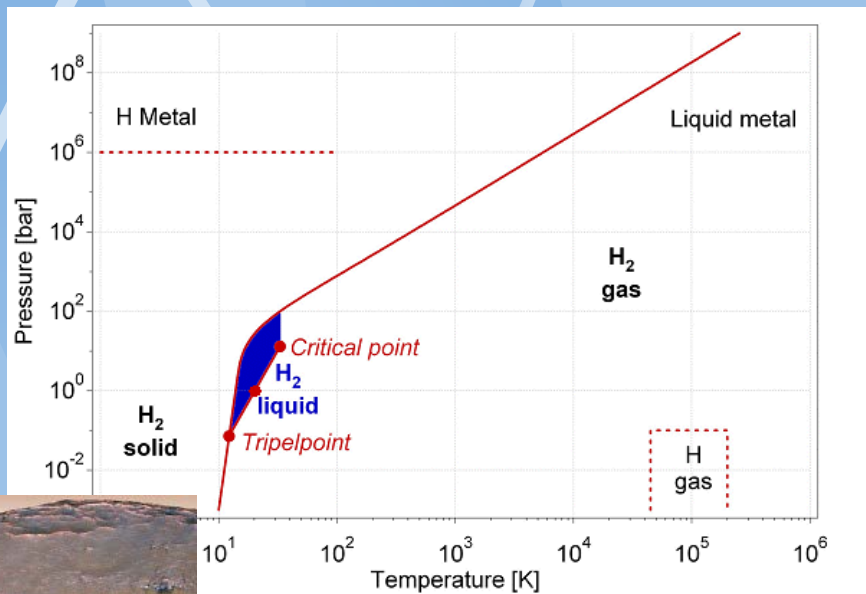
Fázové přeměny mimo Zemi



<http://www.astroblogs.nl/2015/06/23/vormt-zout-de-sleutel-tot-het-magnetisme-van-uranus-en-neptunus/>



Sodium perchlorate (NaClO_4)



<http://cires1.colorado.edu/science/groups/tolbert/people/gough/index.html>